

Copies of ^1H and ^{13}C NMR Spectra

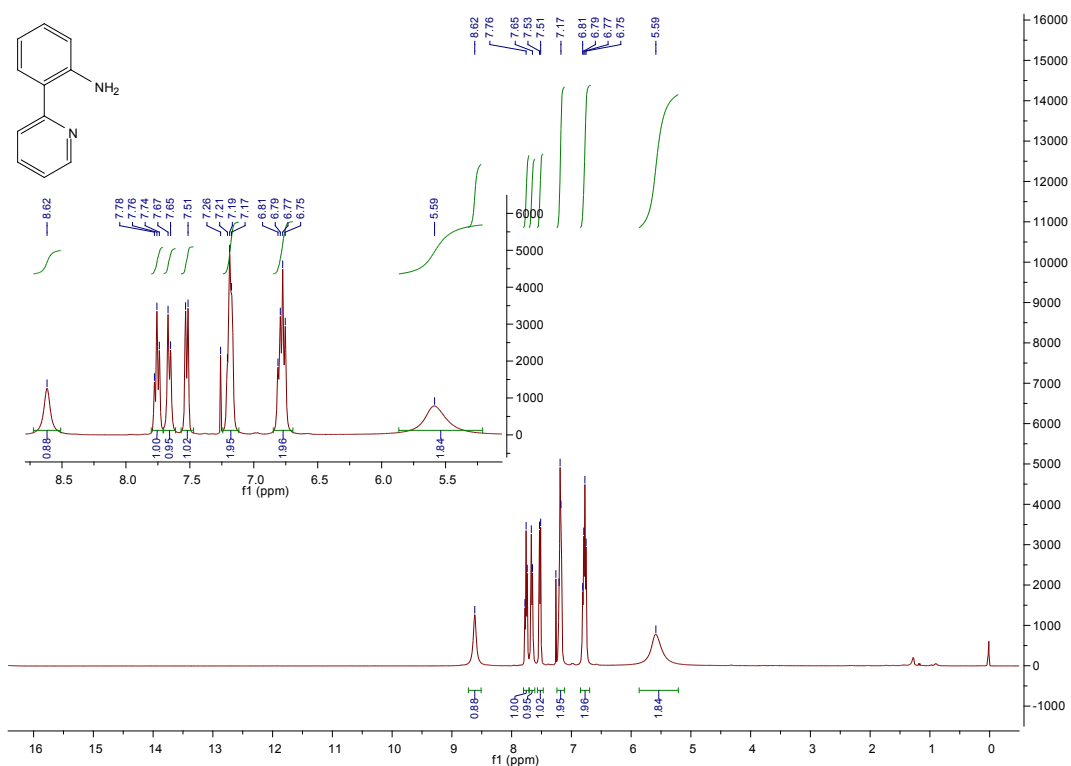


Fig. 1. ^1H NMR of E

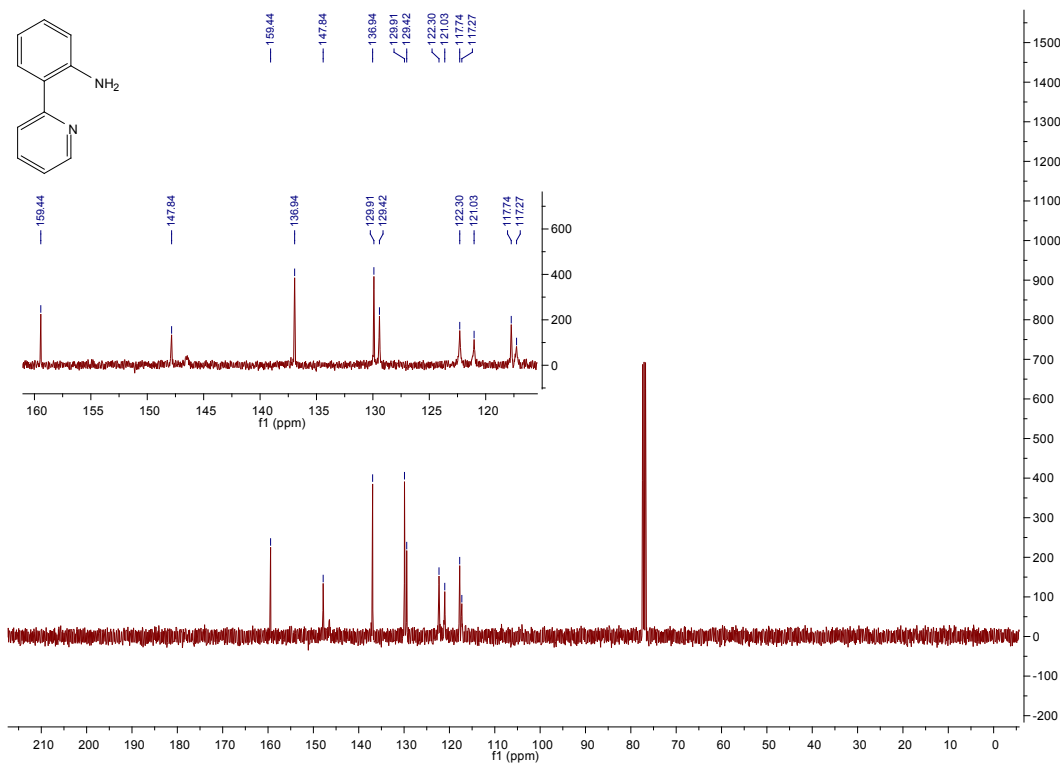


Fig. 2. ^{13}C NMR of E

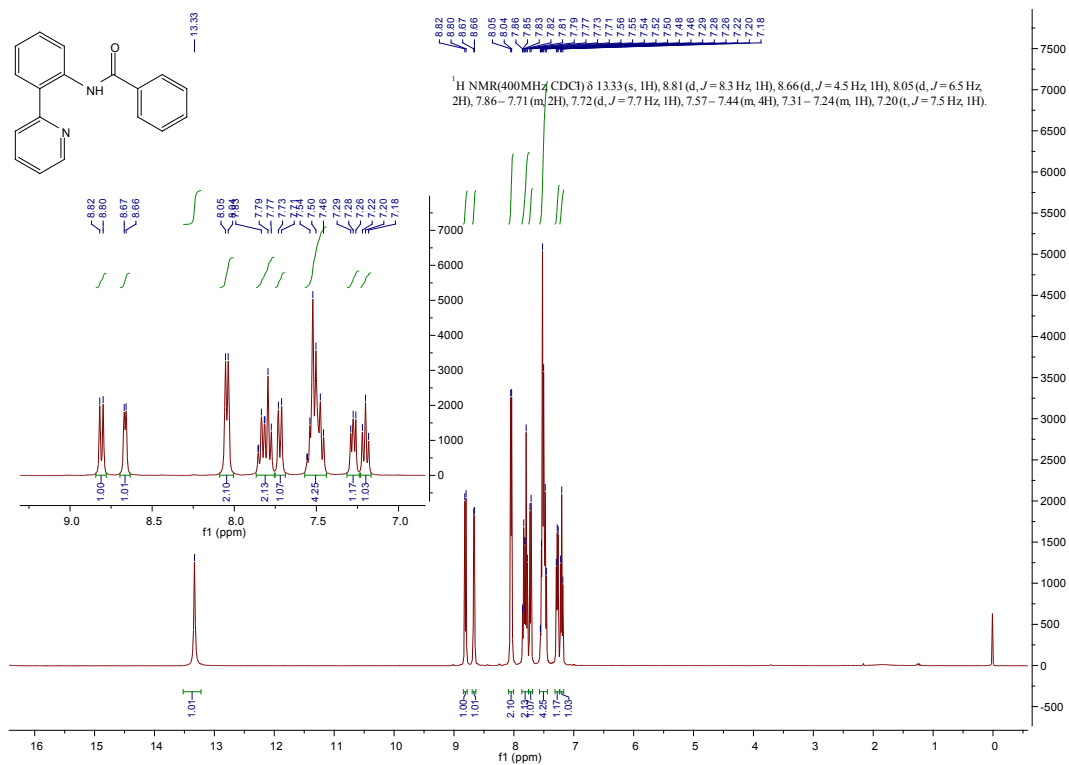


Fig. 3. ¹H NMR of **1a**

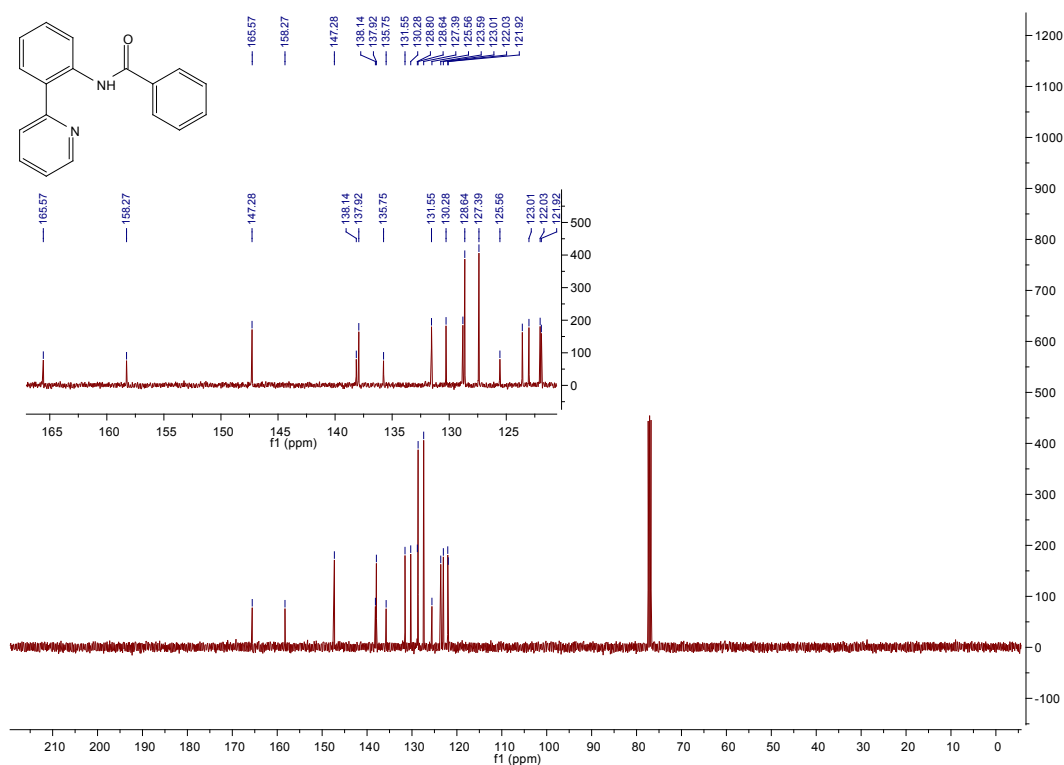


Fig. 4. ¹³C NMR of **1a**

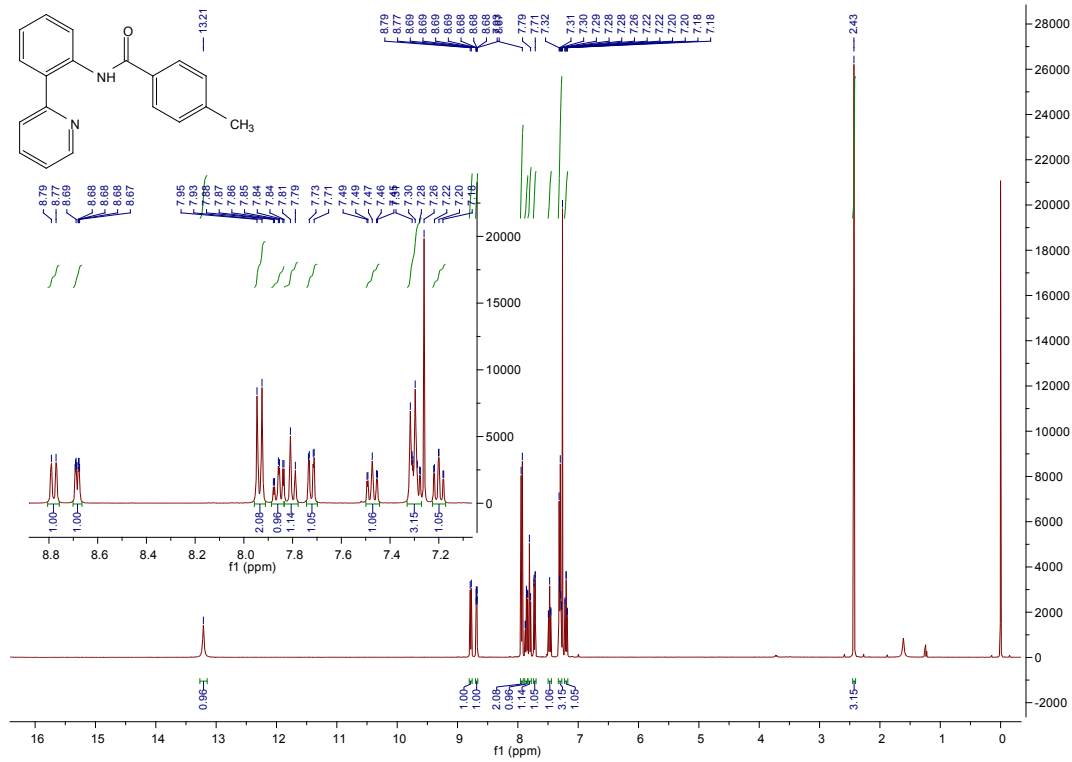


Fig. 5. ^1H NMR of **1b**

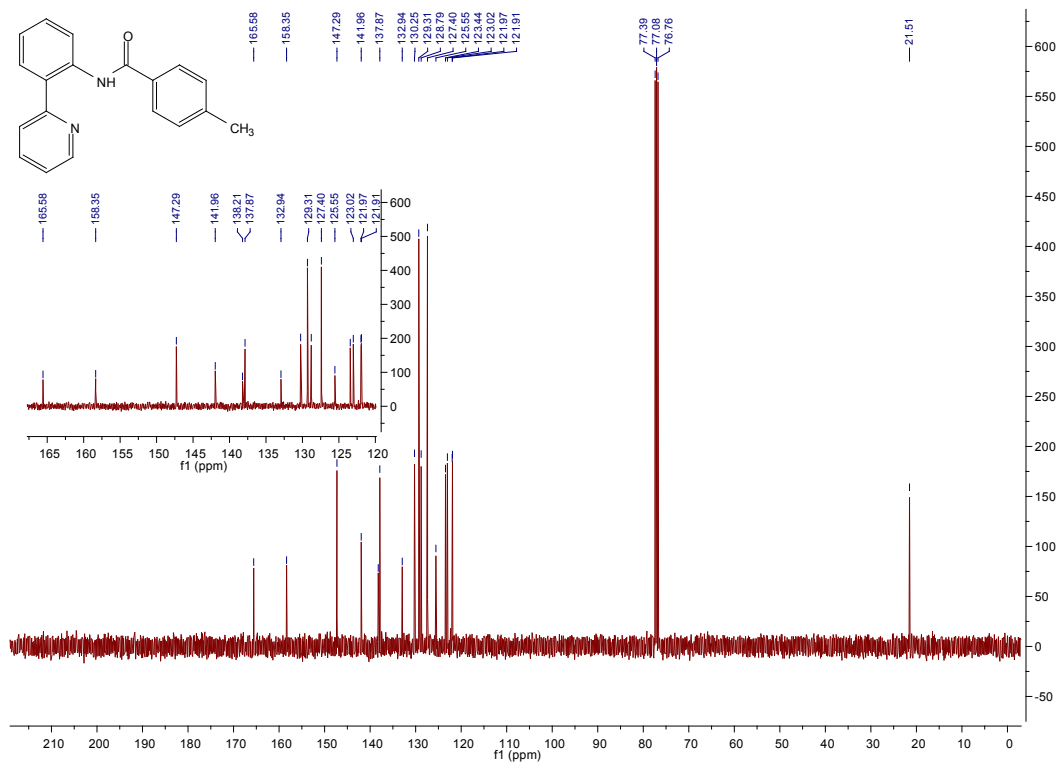


Fig. 6. ^{13}C NMR of **1b**

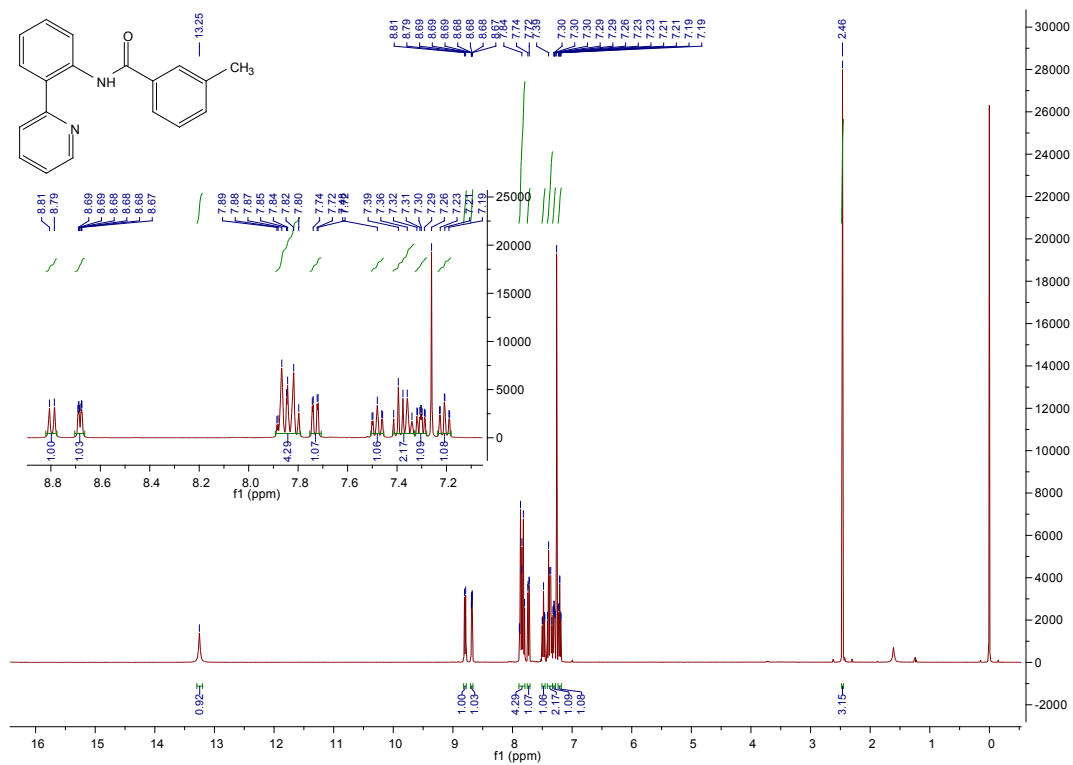


Fig. 7. ¹H NMR of **1c**

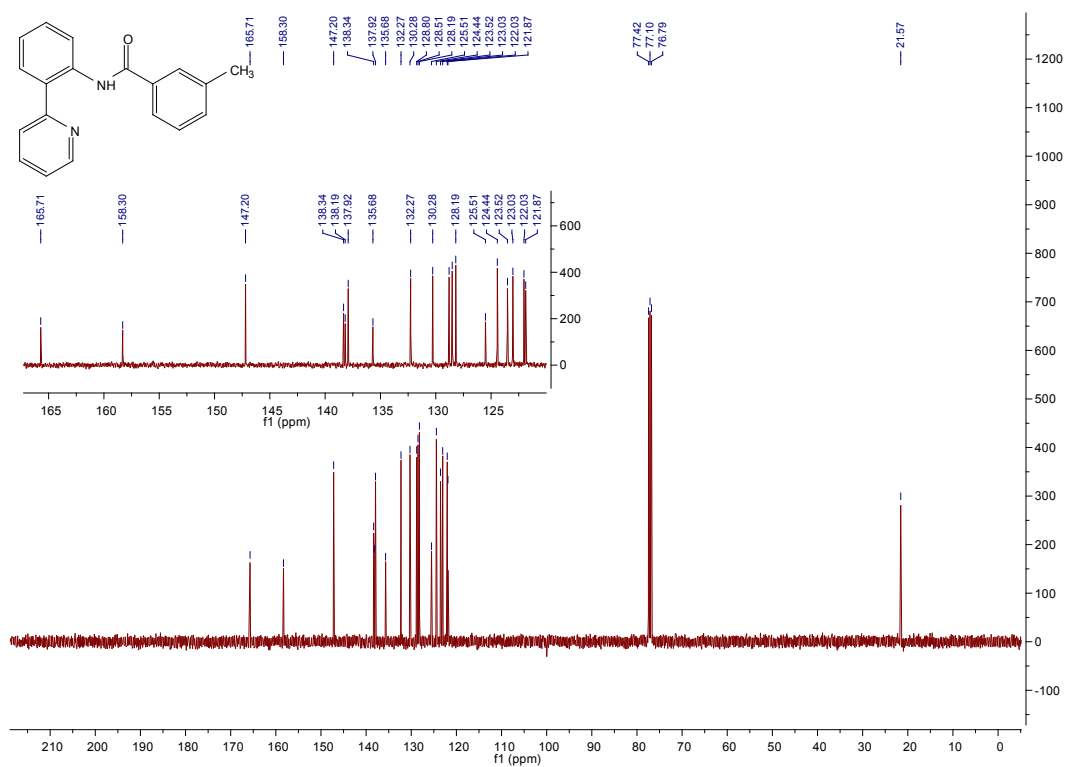


Fig. 8. ¹³C NMR of **1c**

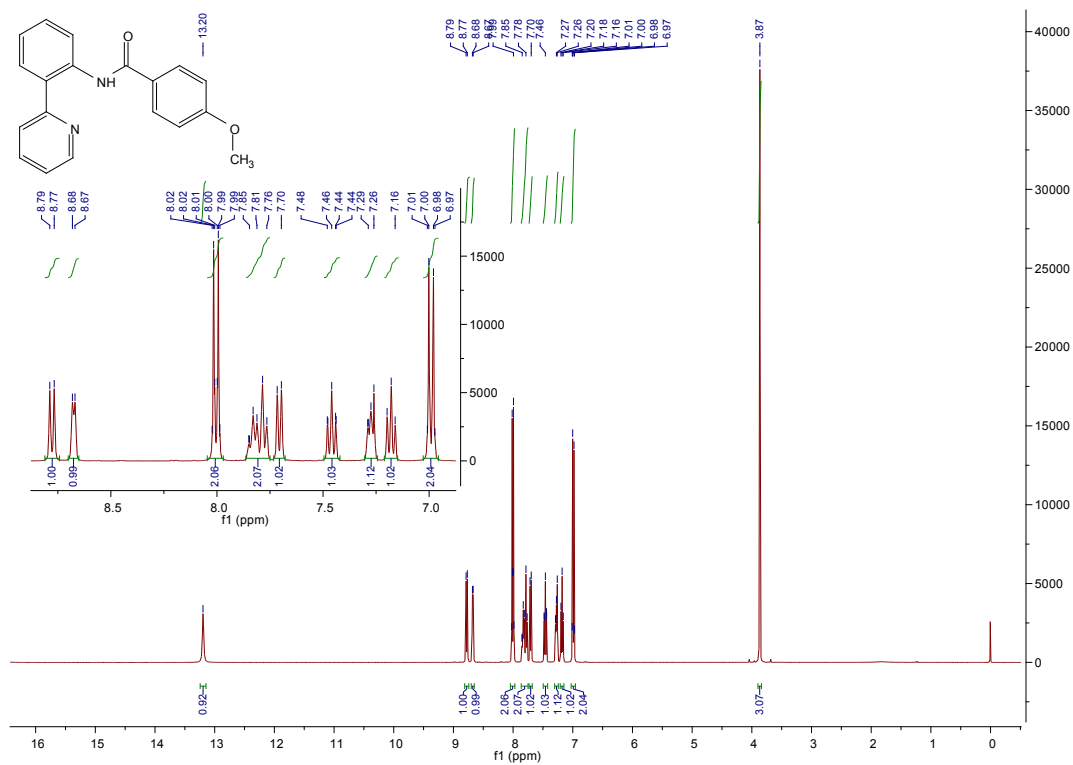


Fig. 9. ¹H NMR of 1d

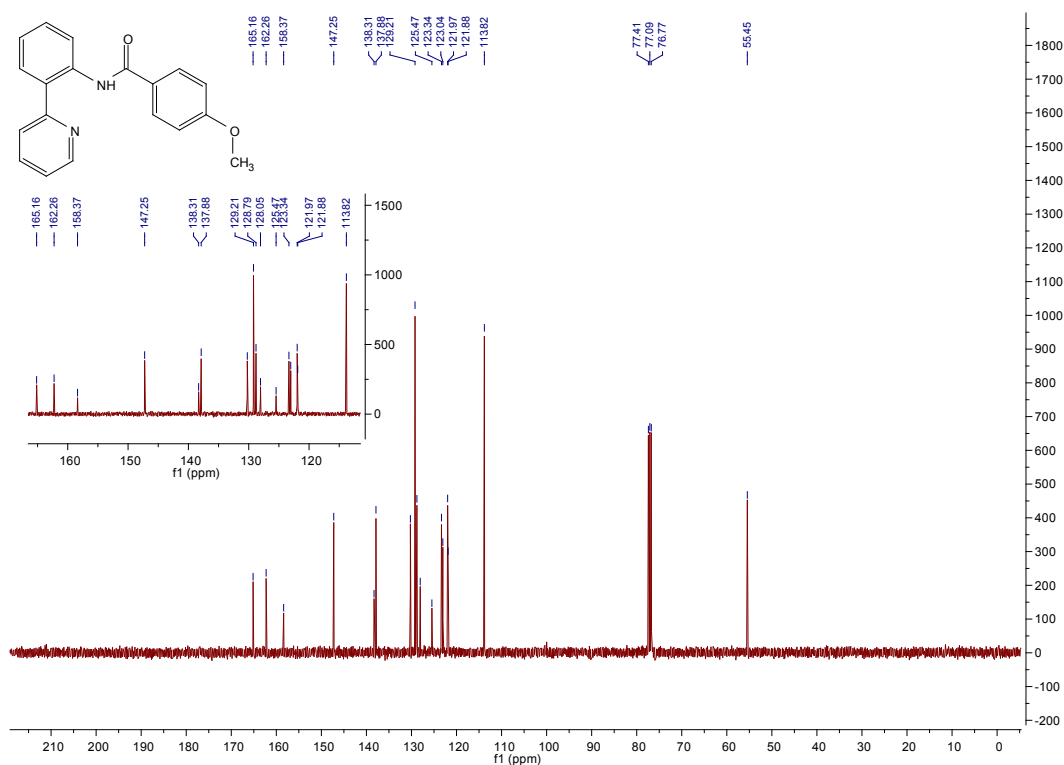


Fig. 10. ¹³C NMR of 1d

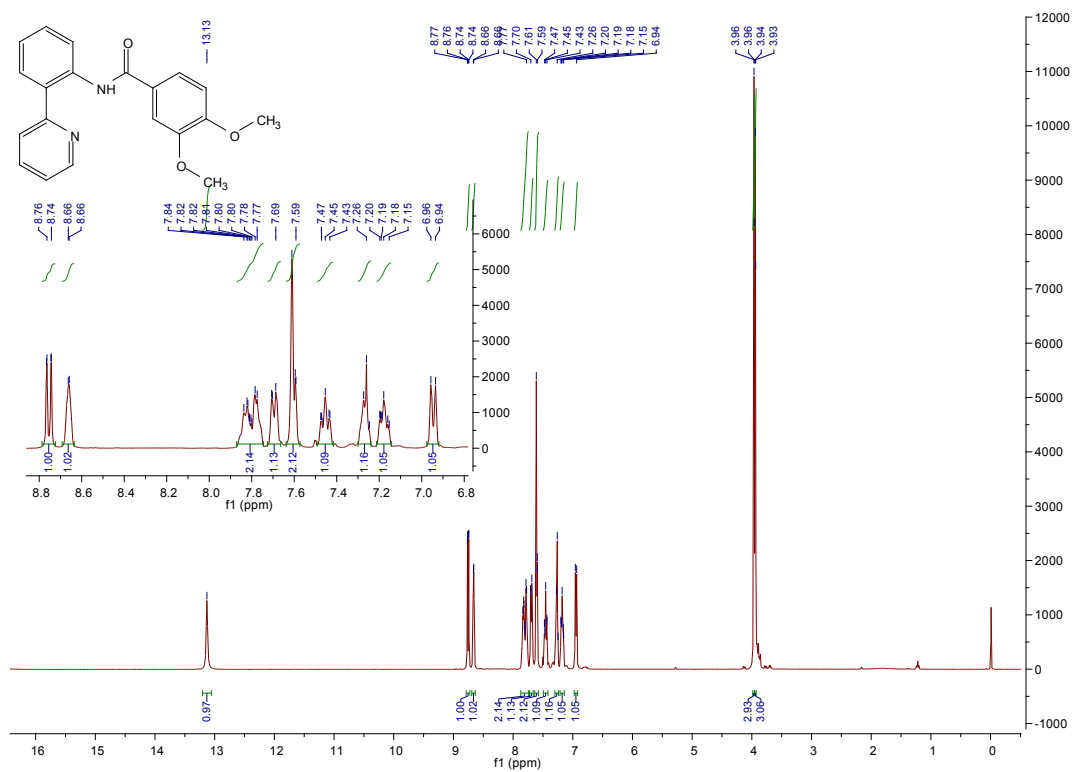


Fig. 11. ¹H NMR of **1e**

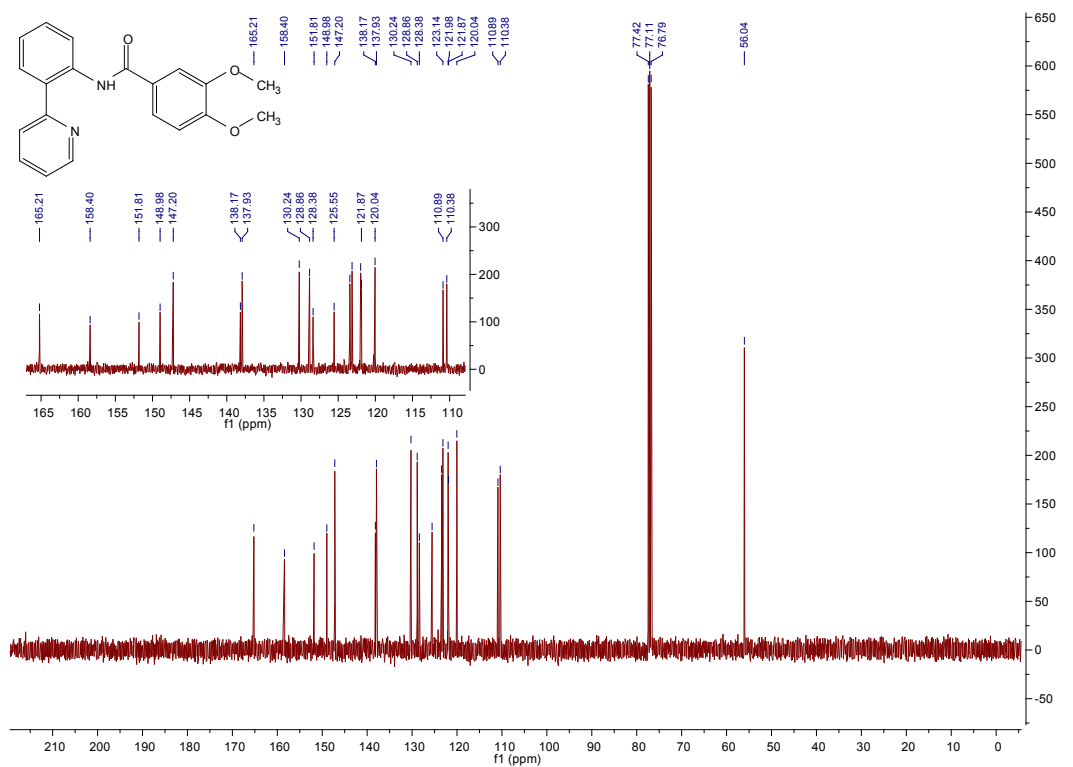


Fig. 12. ¹³C NMR of **1e**

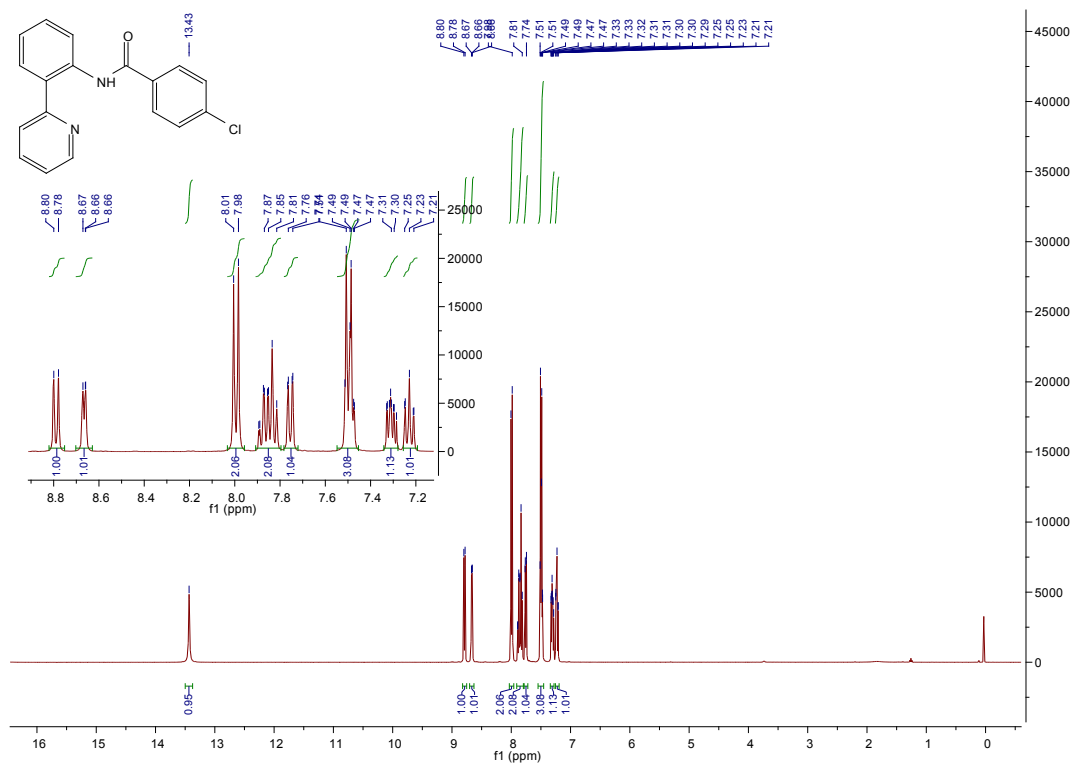


Fig. 13. ¹H NMR of 1f

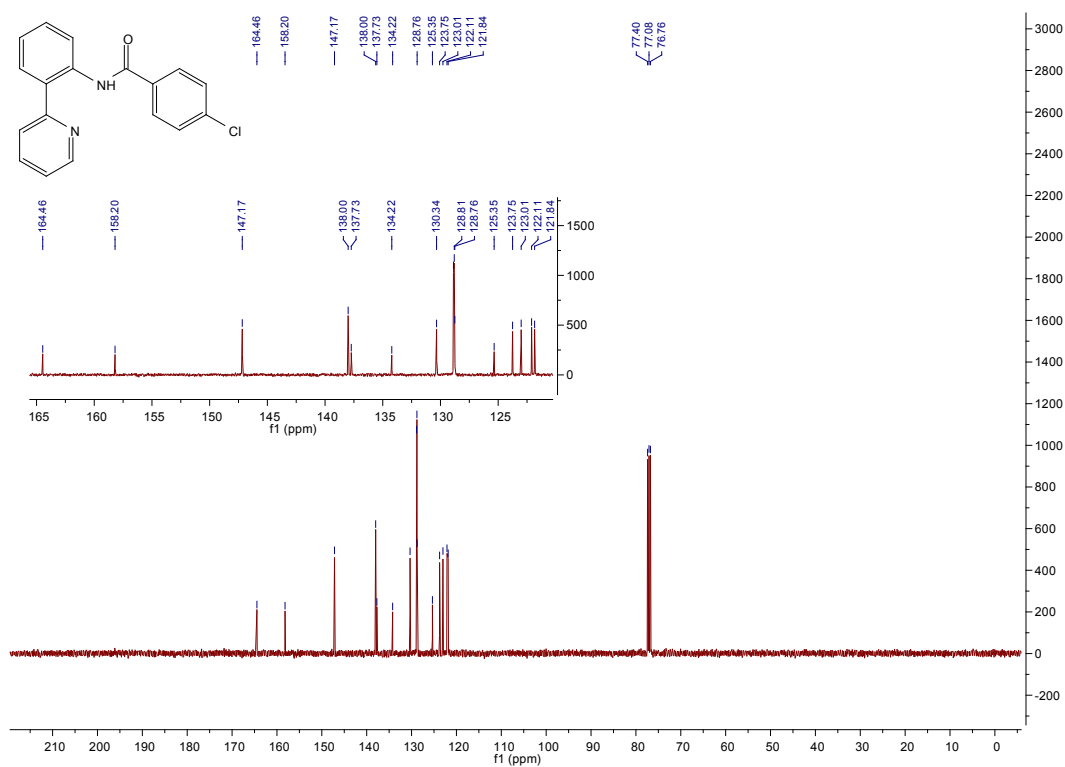


Fig. 14. ¹³C NMR of 1f

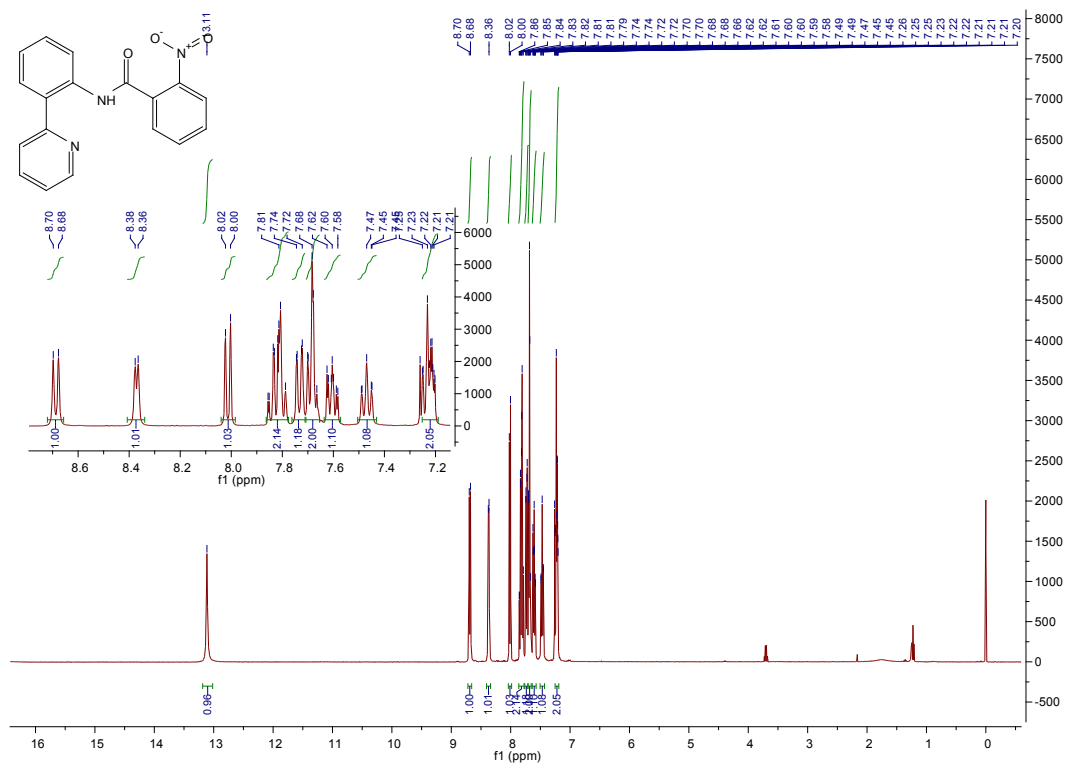


Fig. 15. ¹H NMR of **1g**

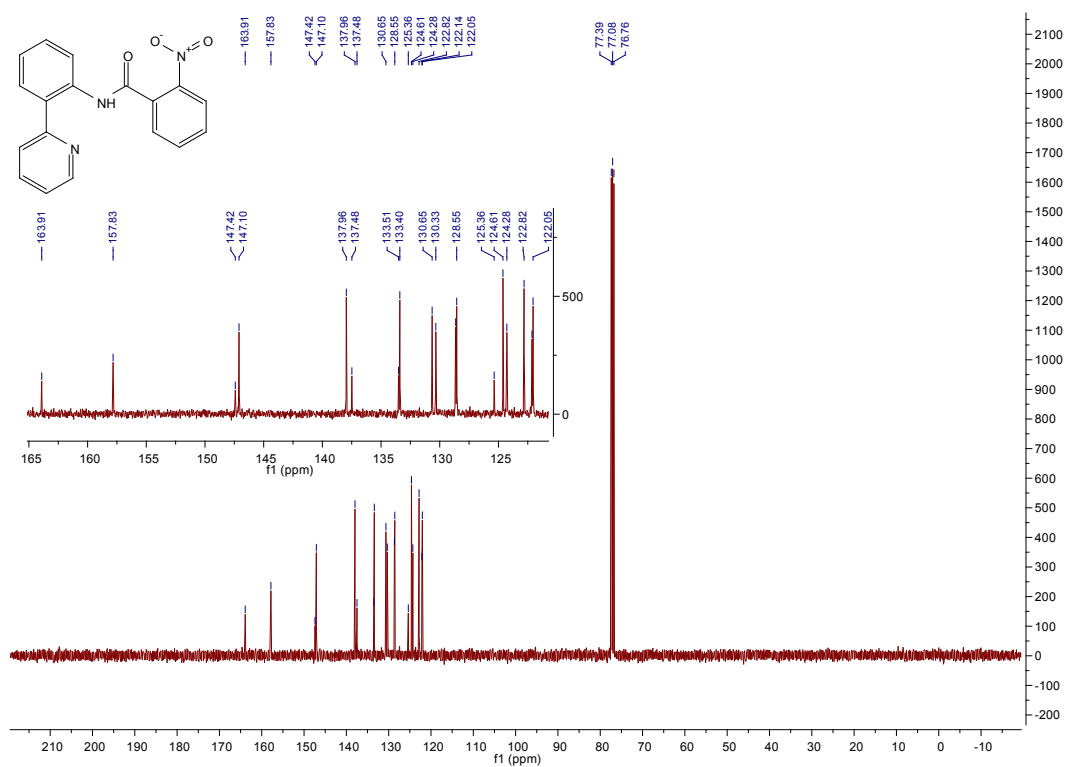


Fig. 16. ¹³C NMR of **1g**

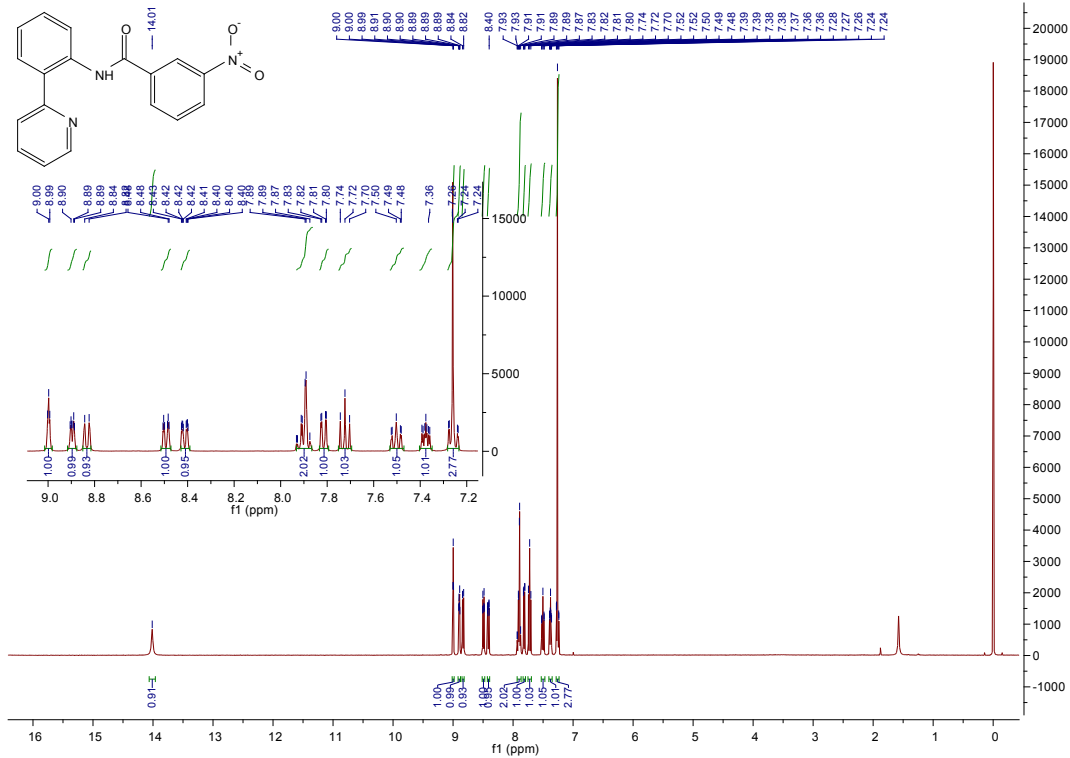


Fig. 17. $^1\text{H NMR}$ of 1h

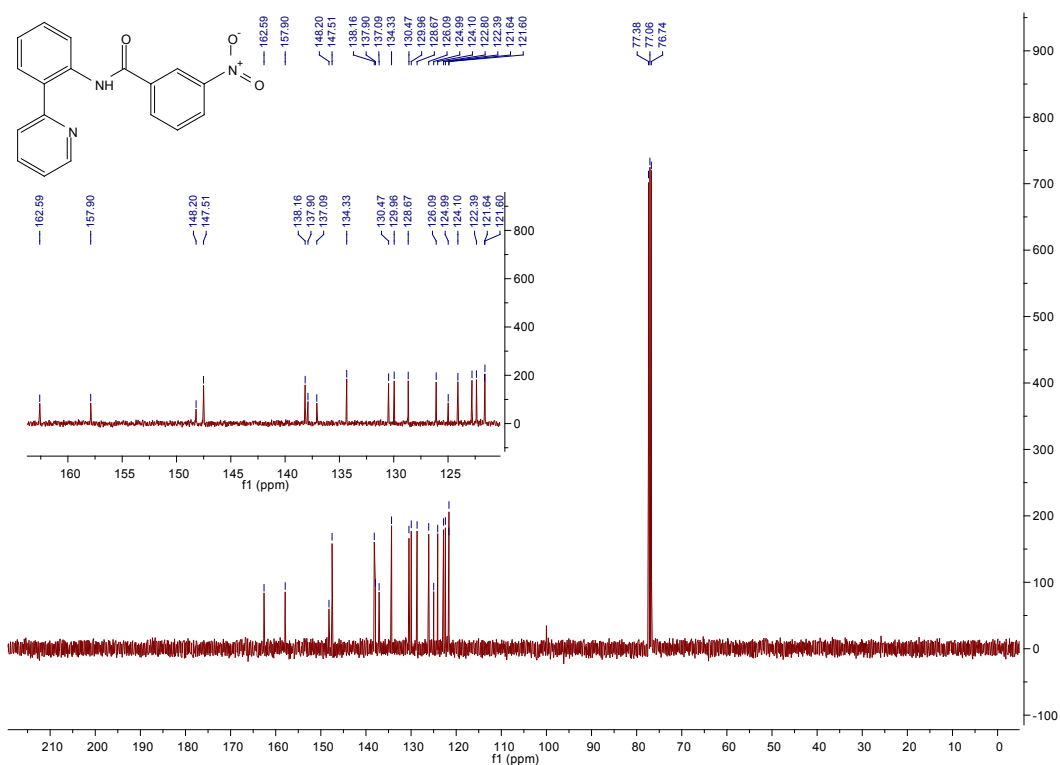


Fig. 18. $^{13}\text{C NMR}$ of 1h

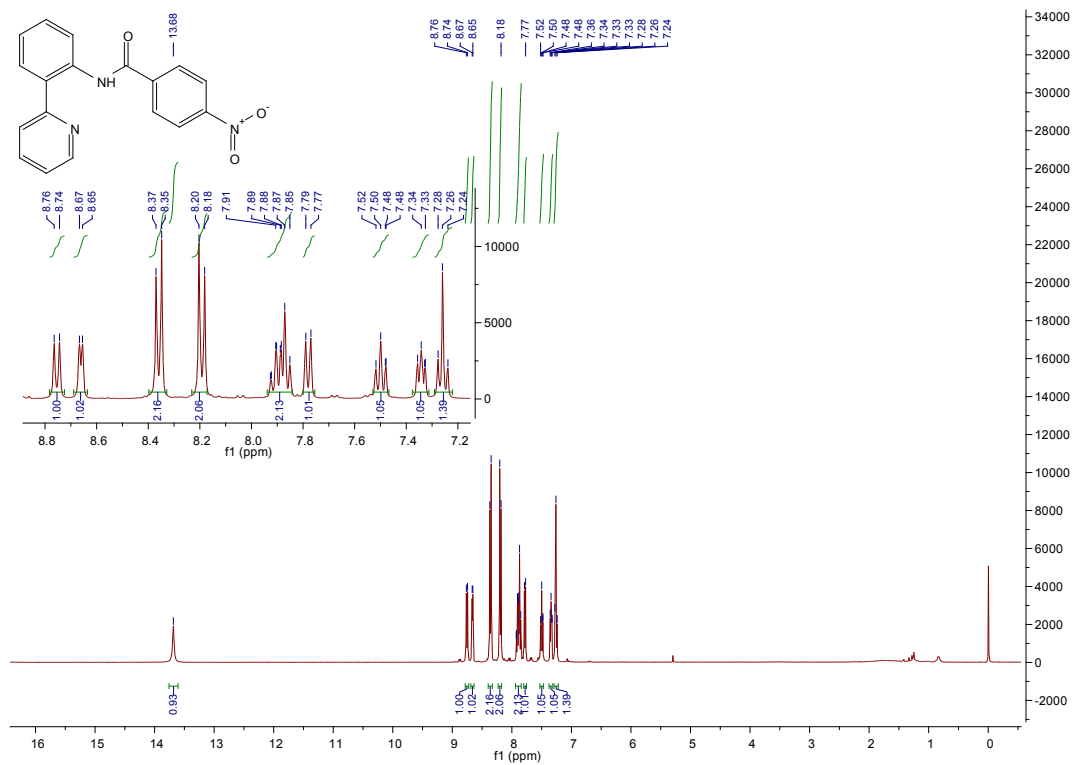


Fig. 19. ^1H NMR of **1i**

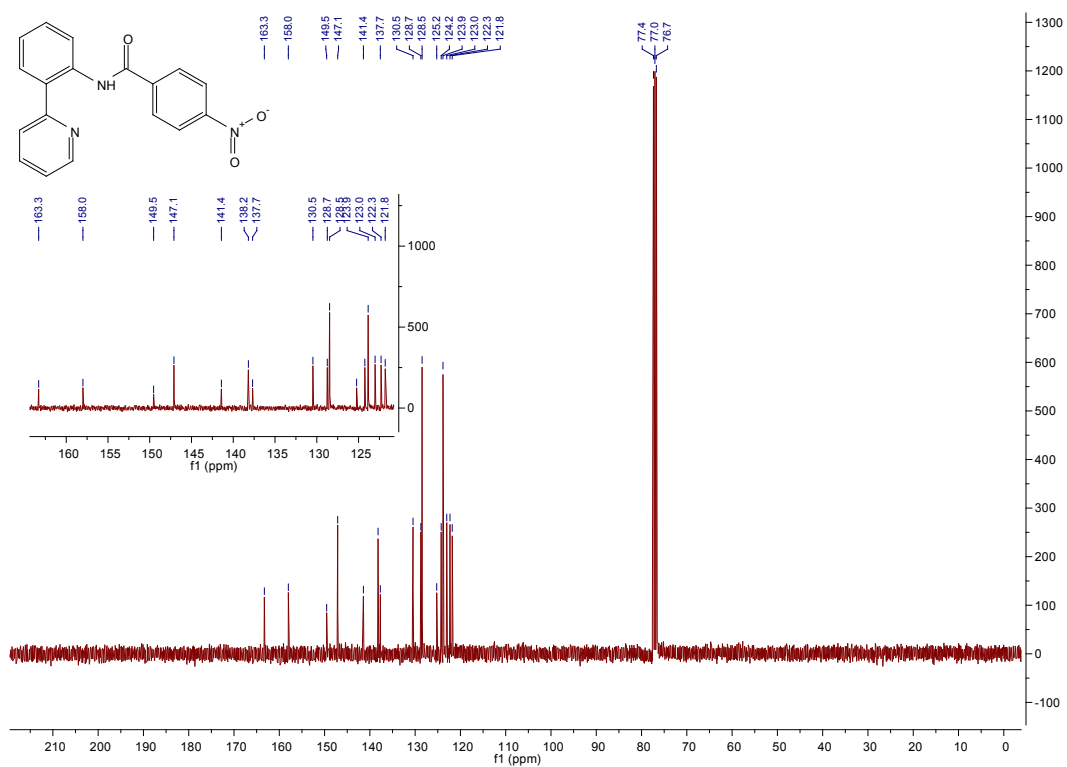


Fig. 20. ^{13}C NMR of **1i**

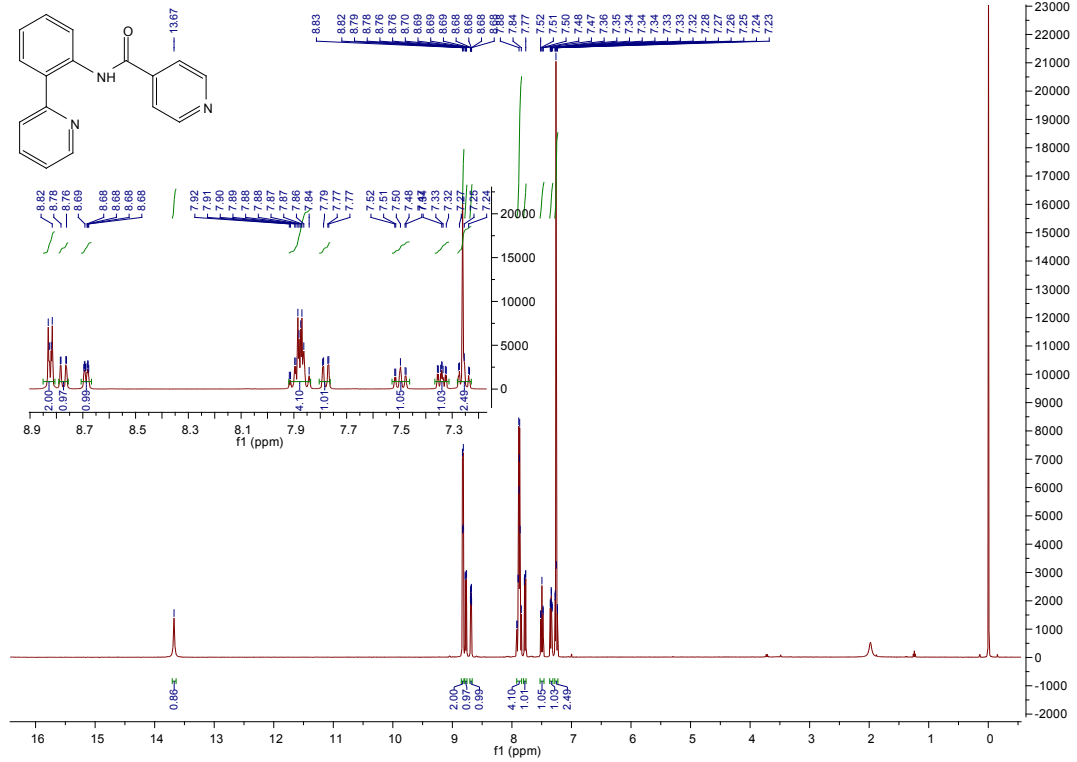


Fig. 21. ^1H NMR of **1j**

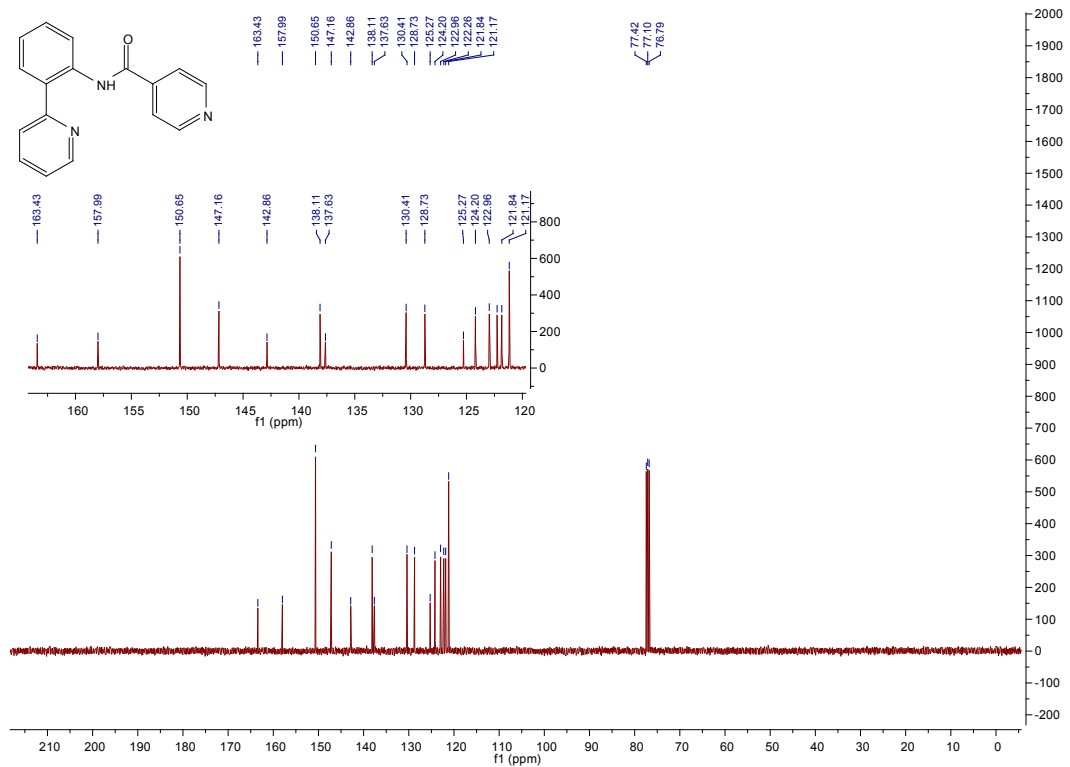


Fig. 22. ^{13}C NMR of **1j**

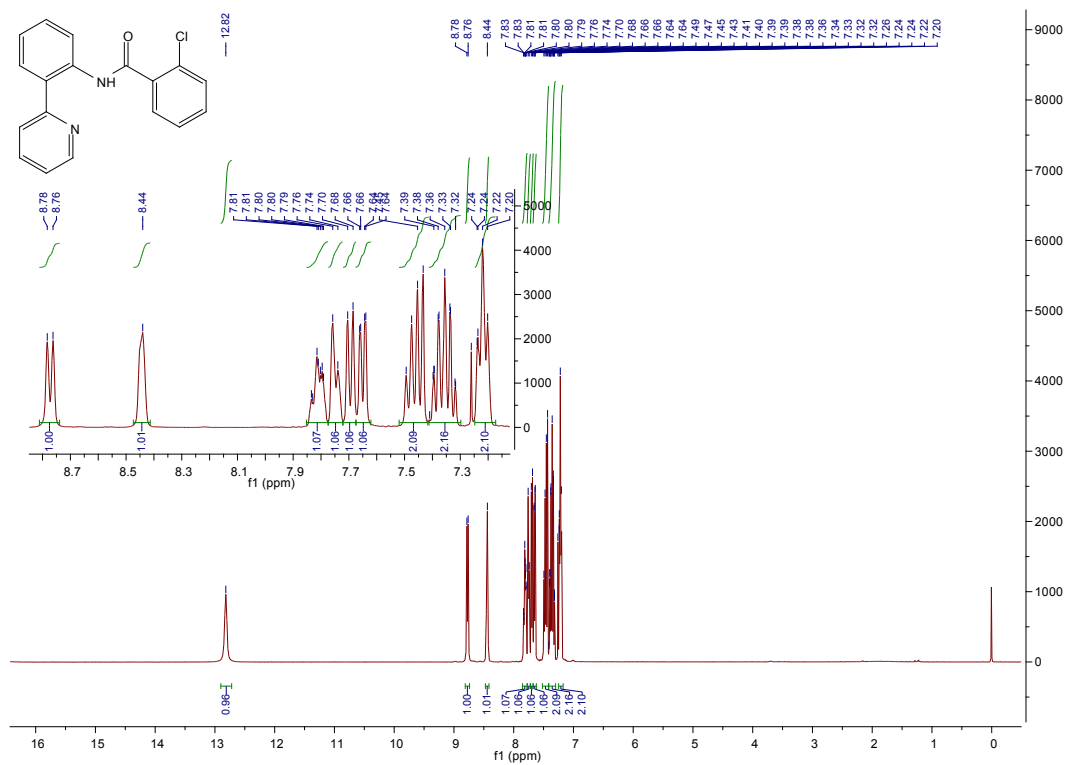


Fig. 23. ¹H NMR of 1k

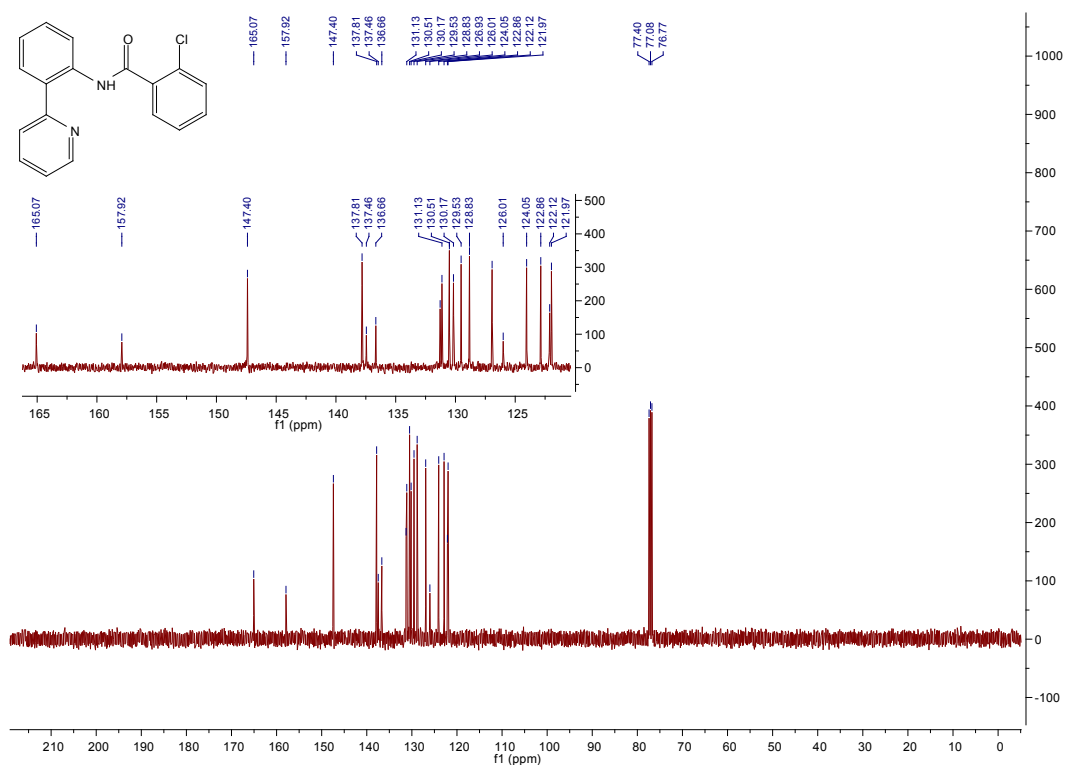


Fig. 24. ¹³C NMR of 1k

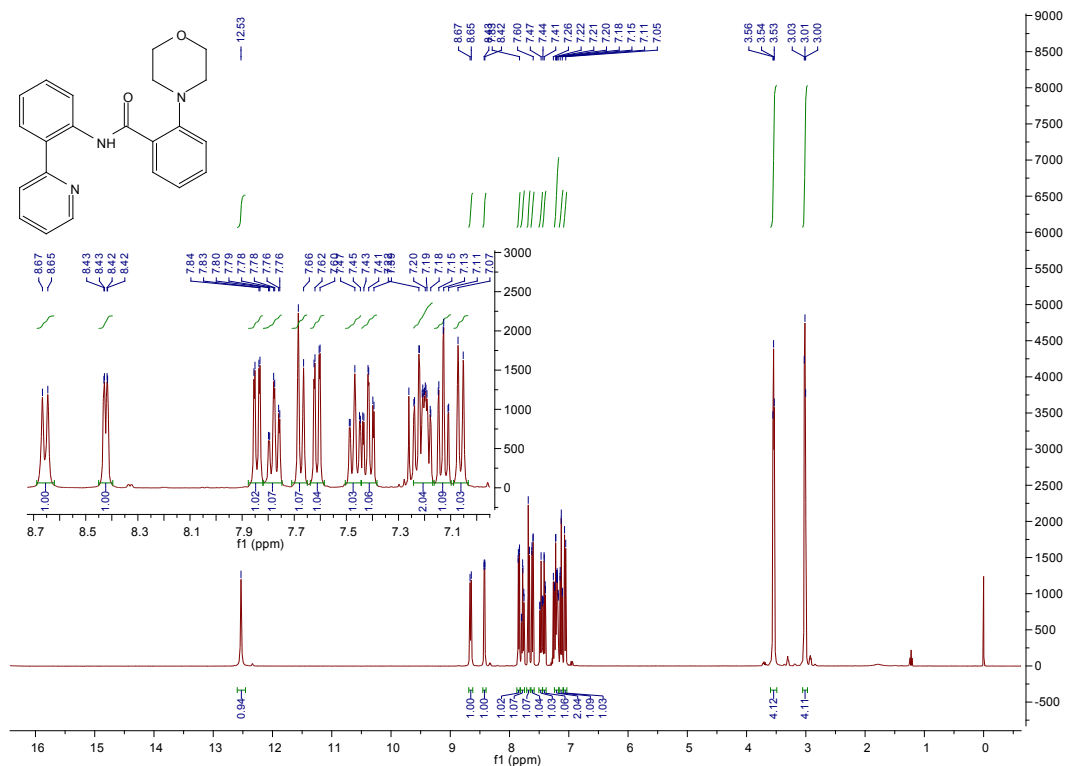


Fig. 25. ¹H NMR of 2a

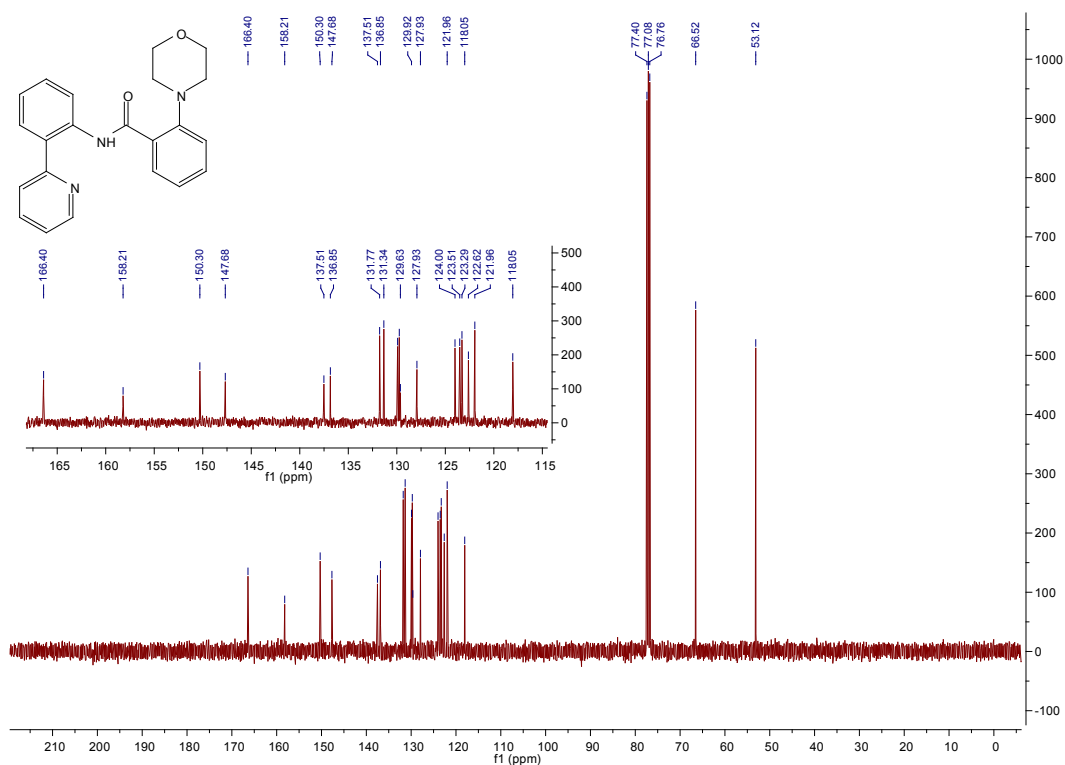


Fig. 26. ¹³C NMR of 2a

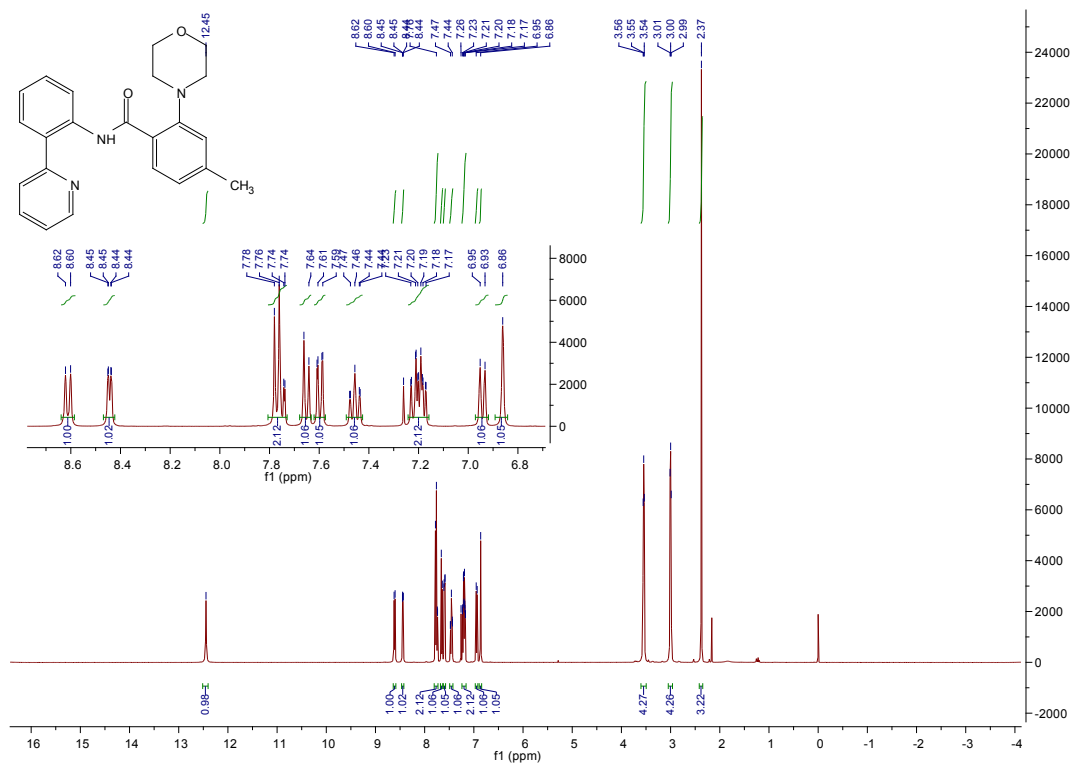


Fig. 27. ¹H NMR of **2b**

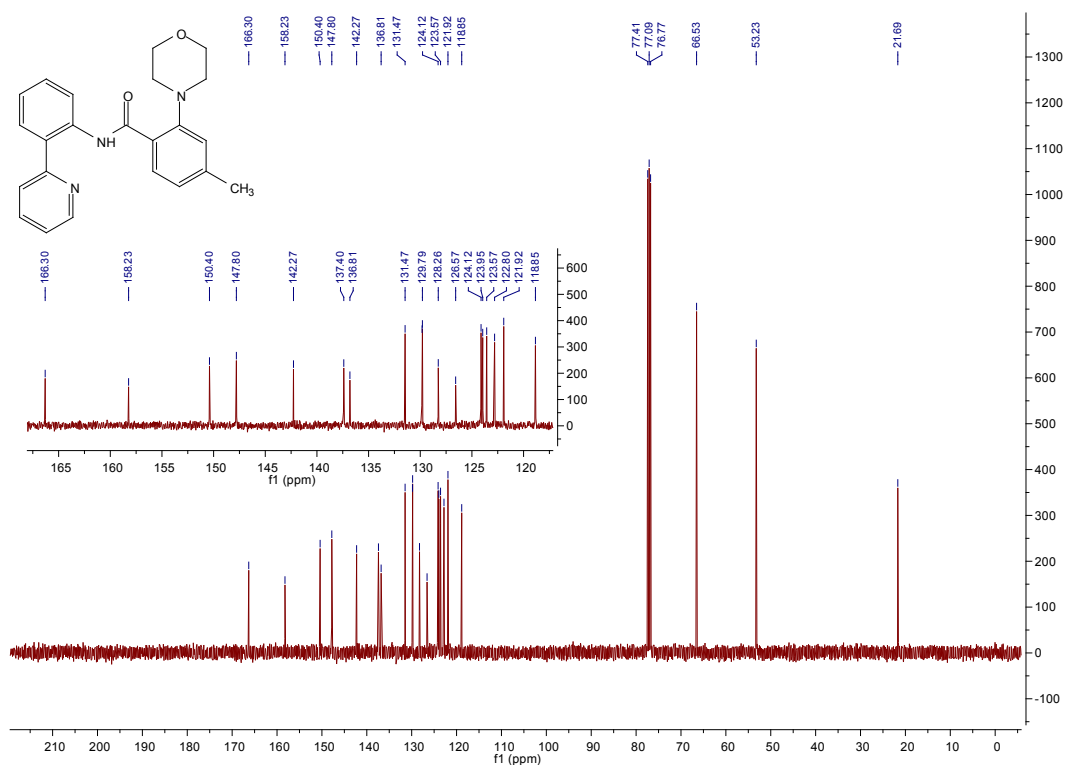


Fig. 28. ¹³C NMR of **2b**

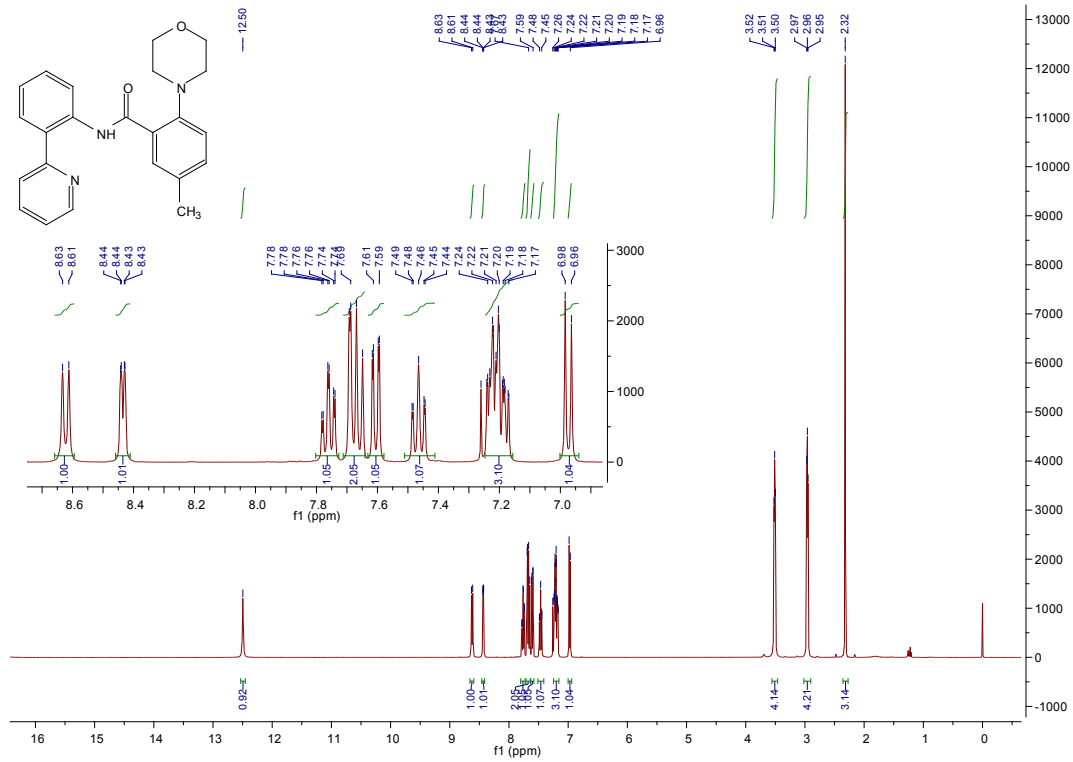


Fig. 29. ¹H NMR of 2c

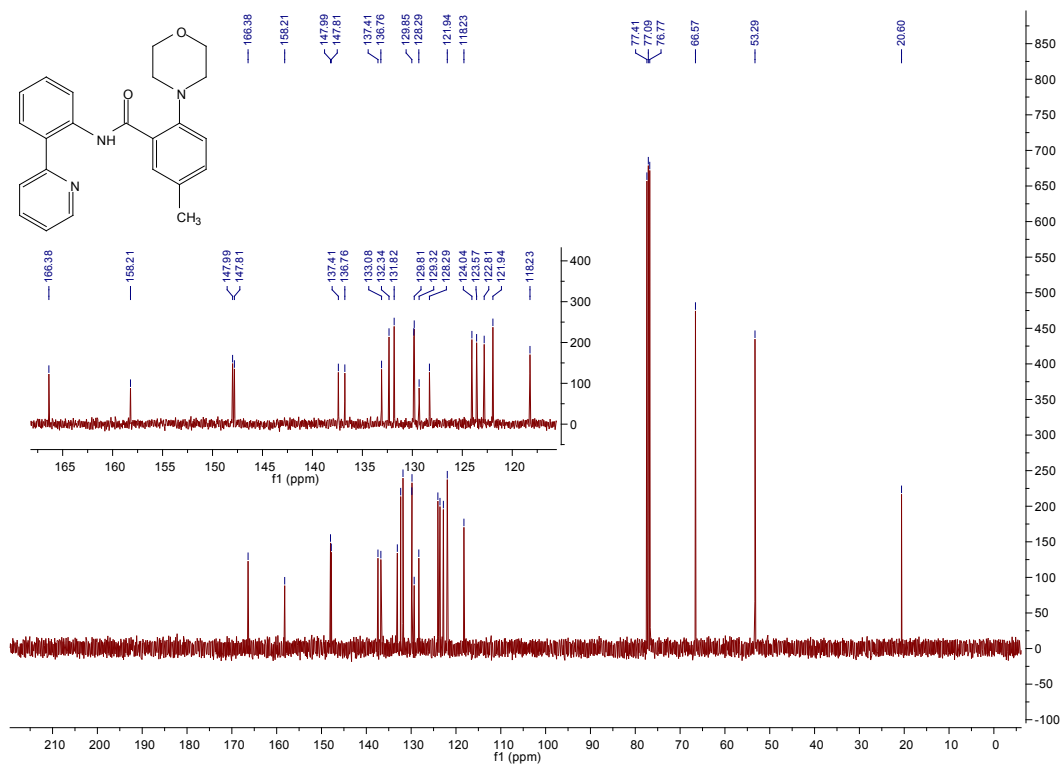


Fig. 30. ¹³C NMR of 2c

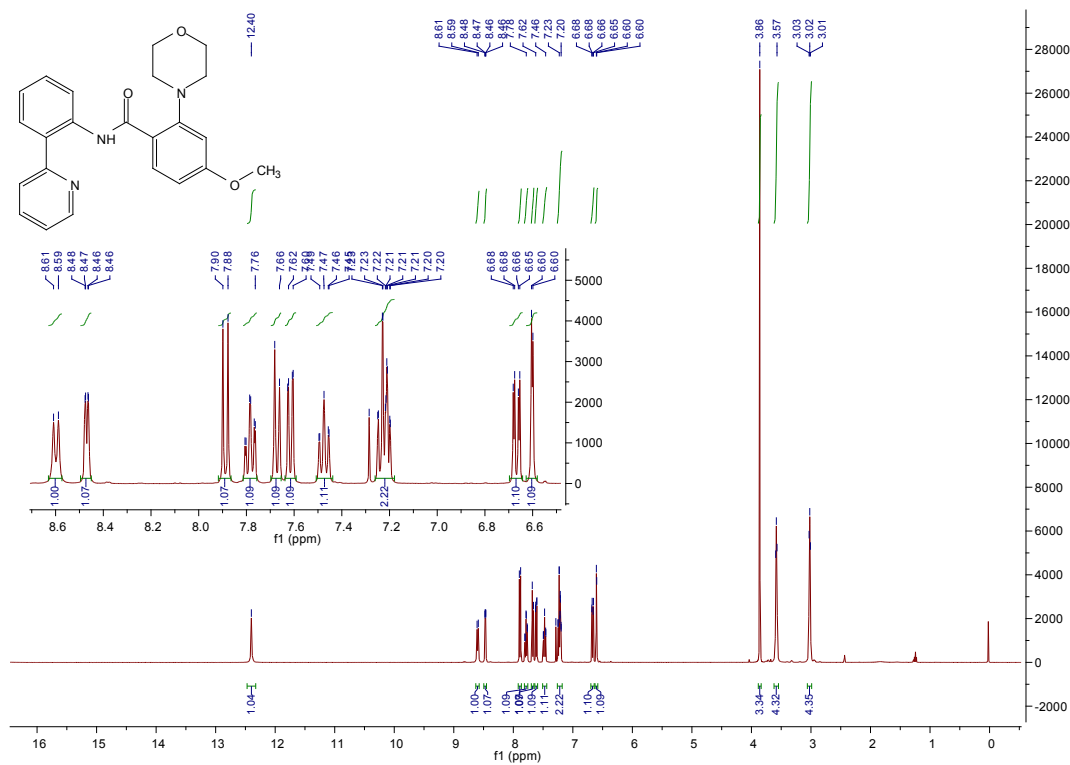


Fig. 31. ¹H NMR of 2d

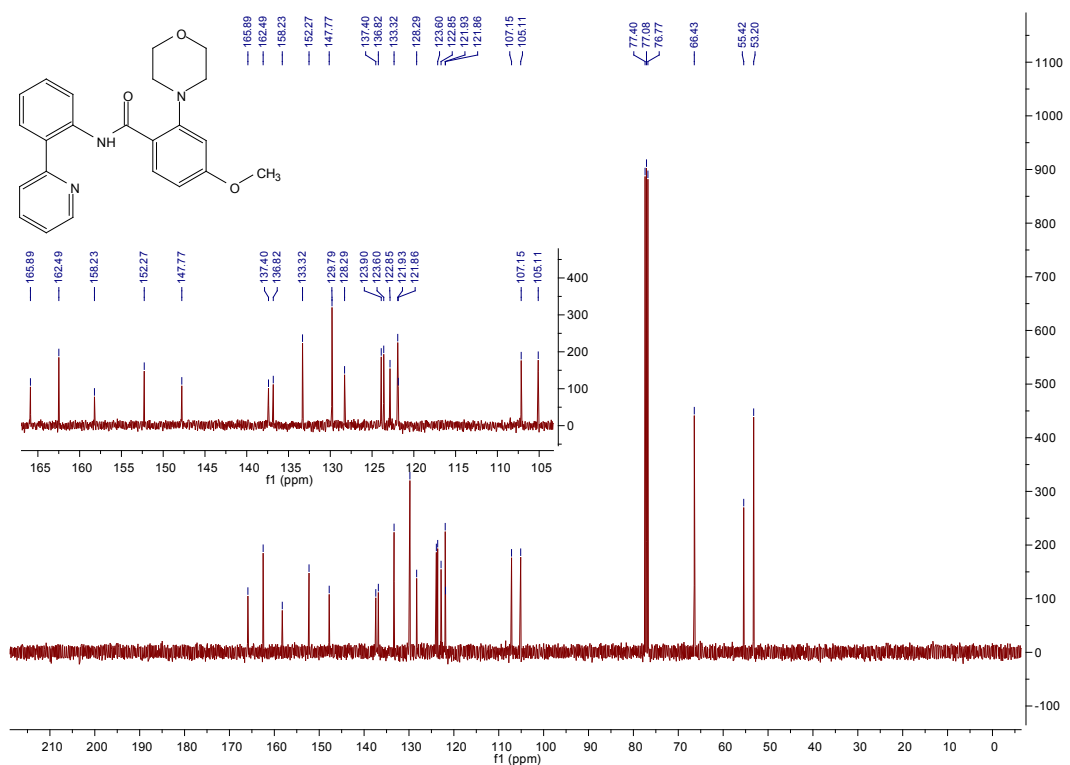


Fig. 32. ¹³C NMR of 2d

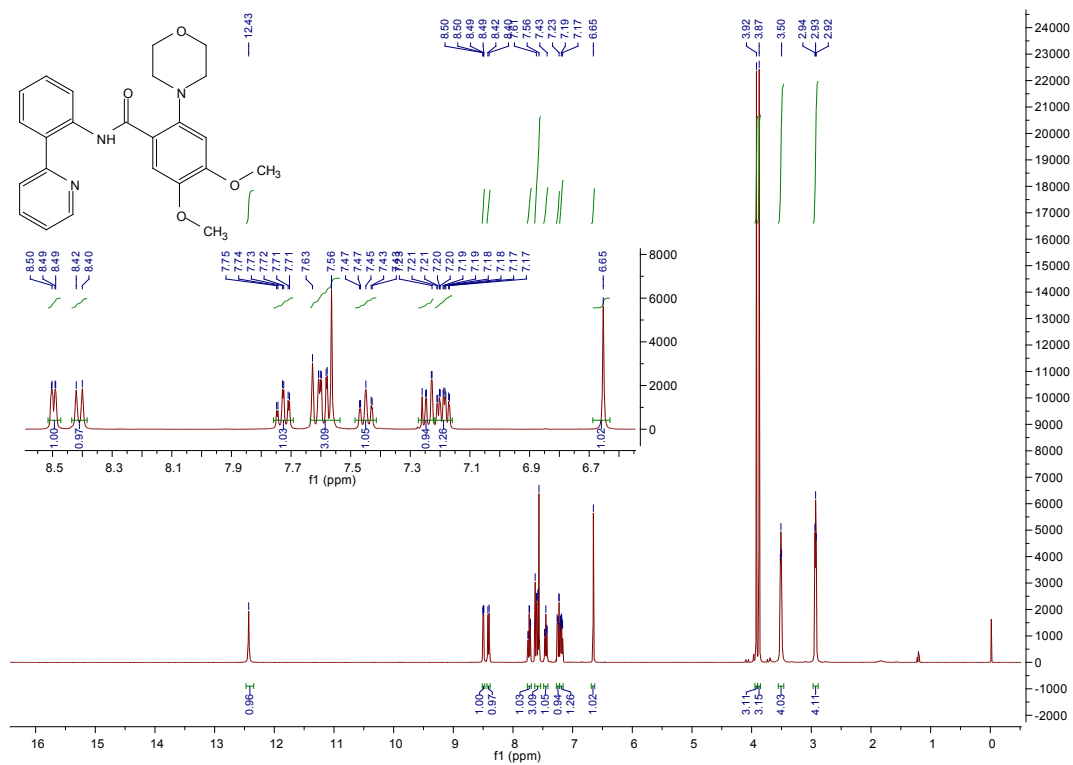


Fig. 33. ¹H NMR of **2e**

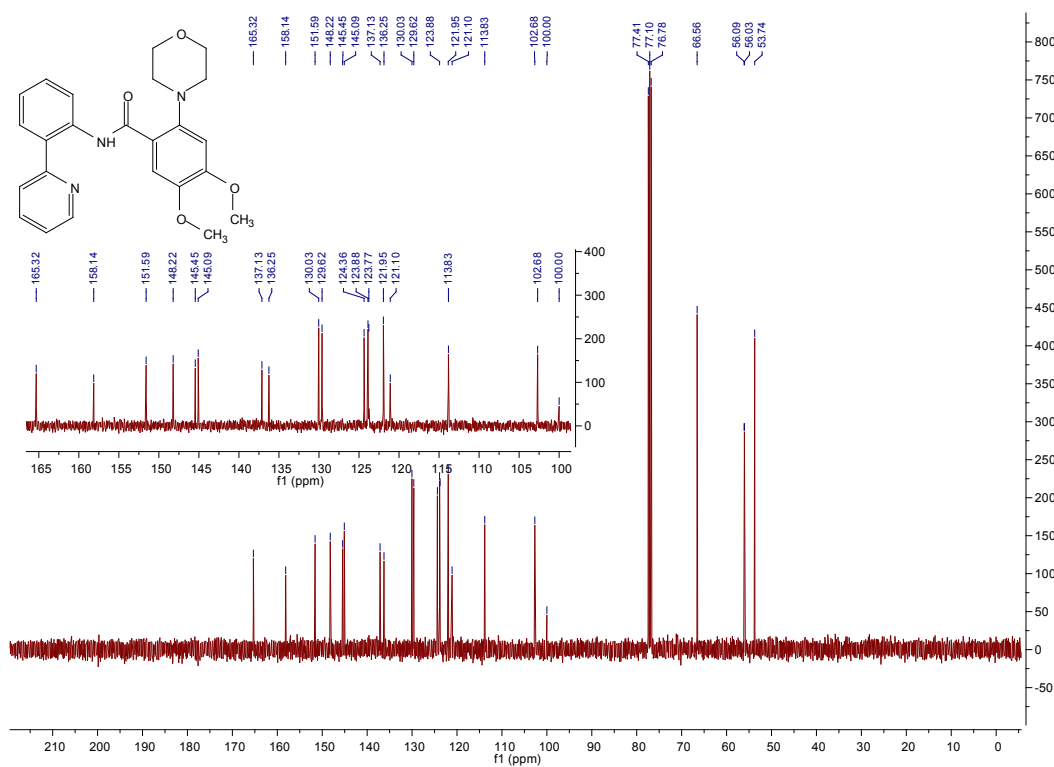


Fig. 34. ¹³C NMR of **2e**

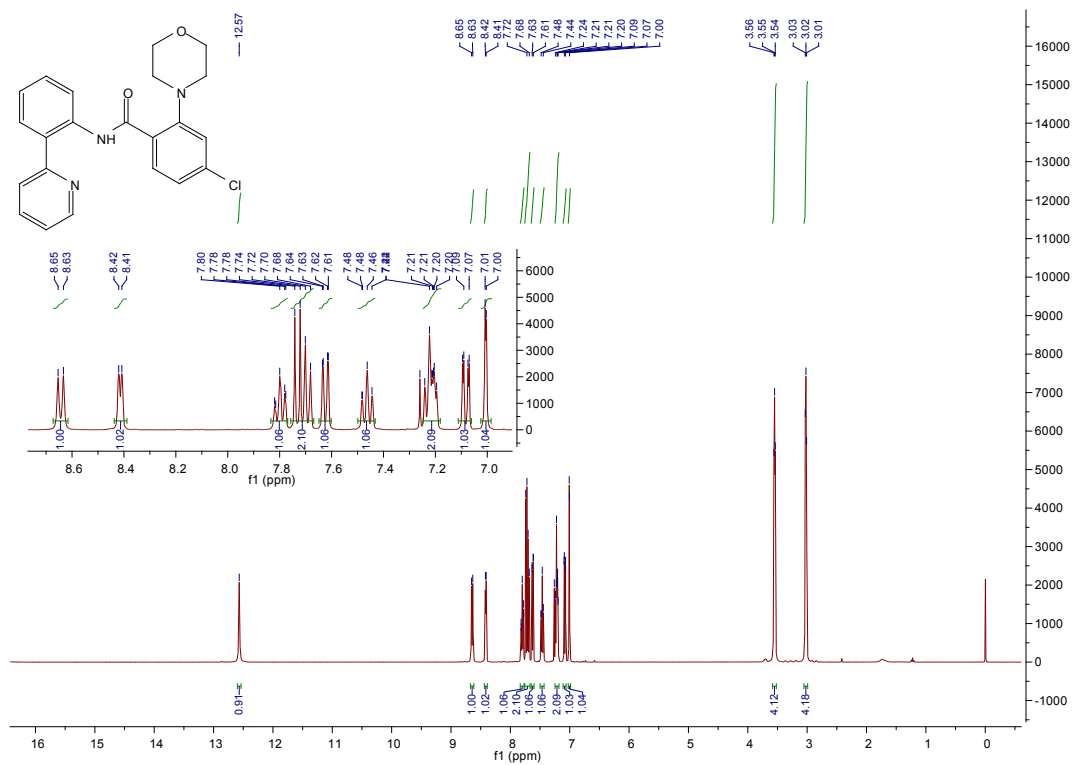


Fig. 35. ^1H NMR of **2f**

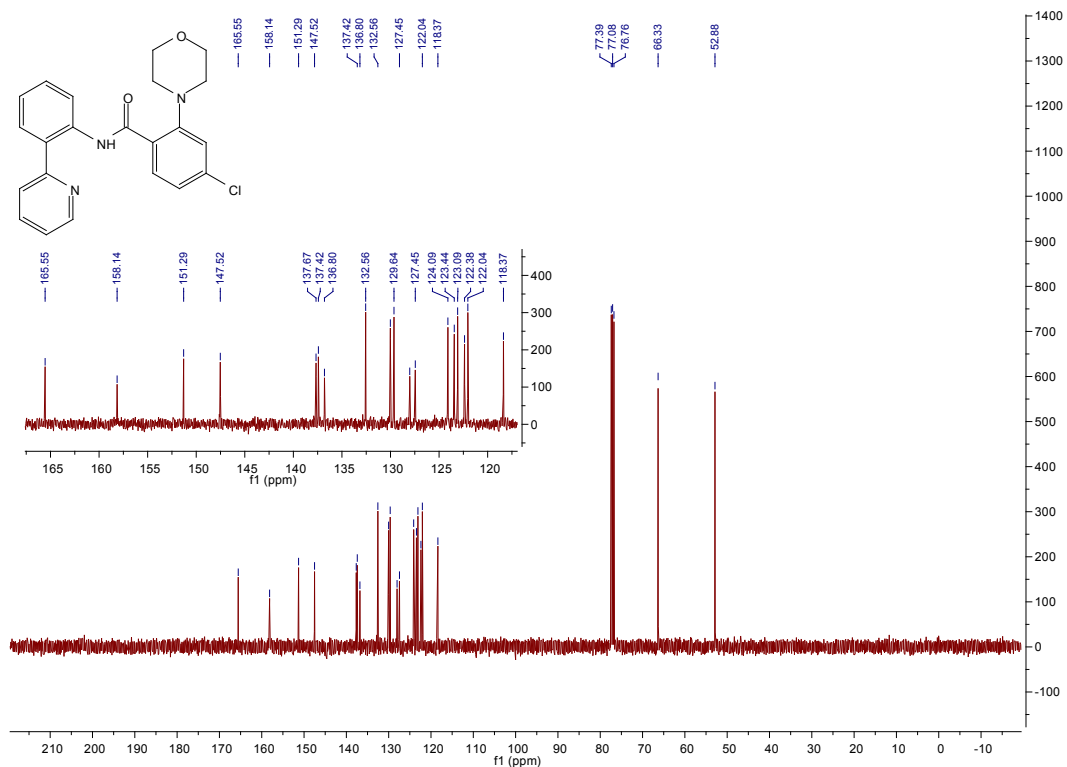


Fig. 36. ^{13}C NMR of **2f**

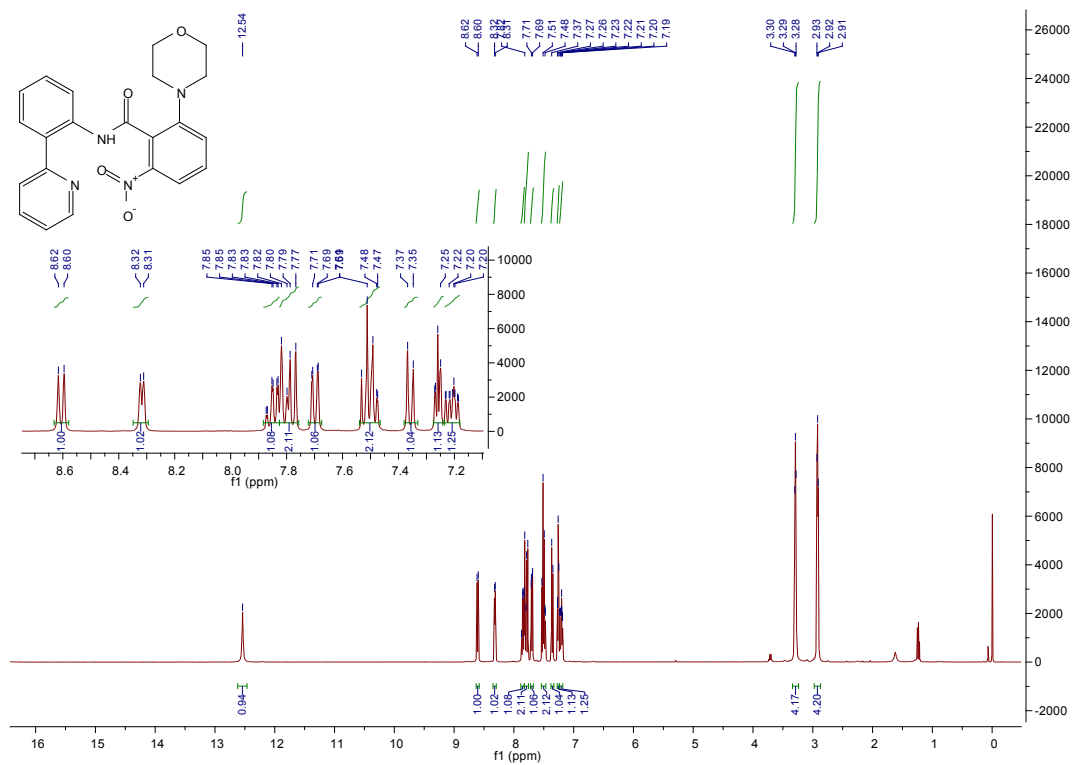


Fig. 37. ^1H NMR of **2g**

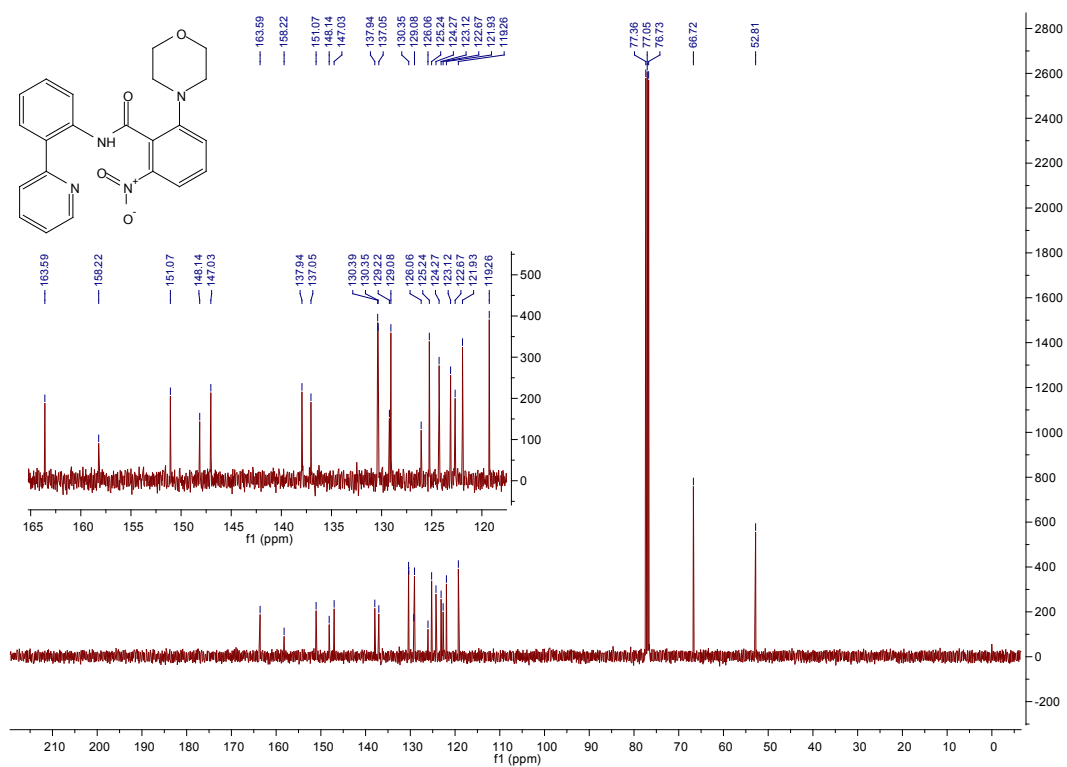


Fig. 38. ^{13}C NMR of **2g**

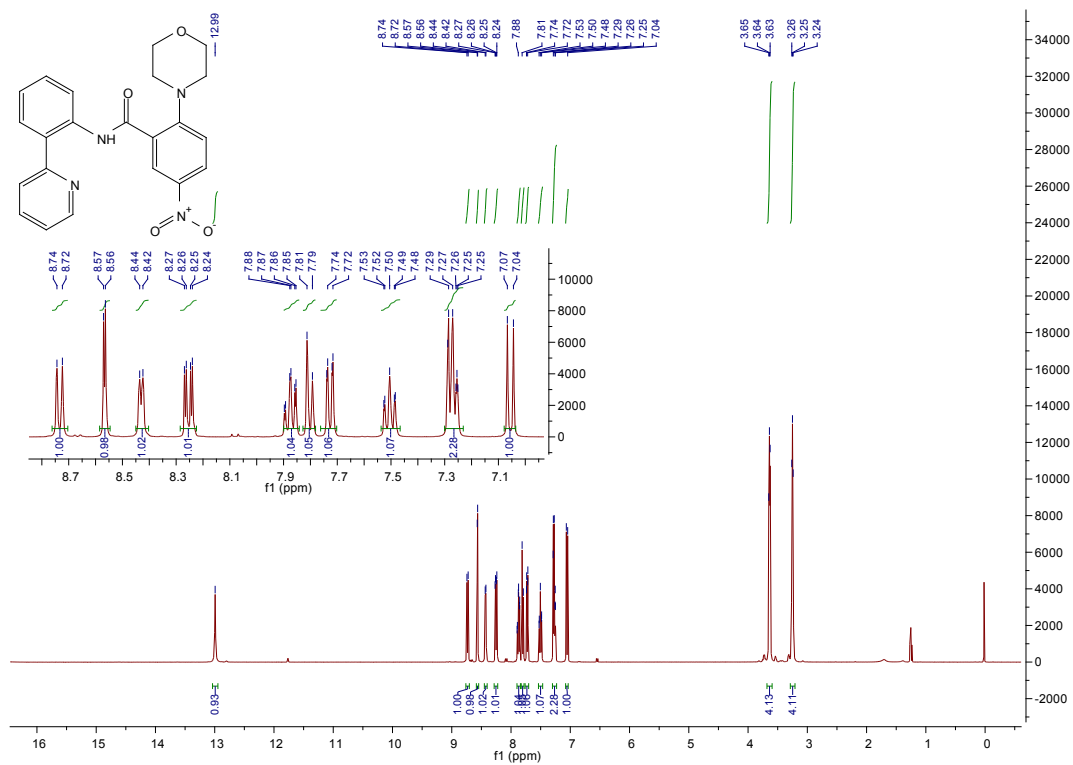


Fig. 39. ¹H NMR of 2h

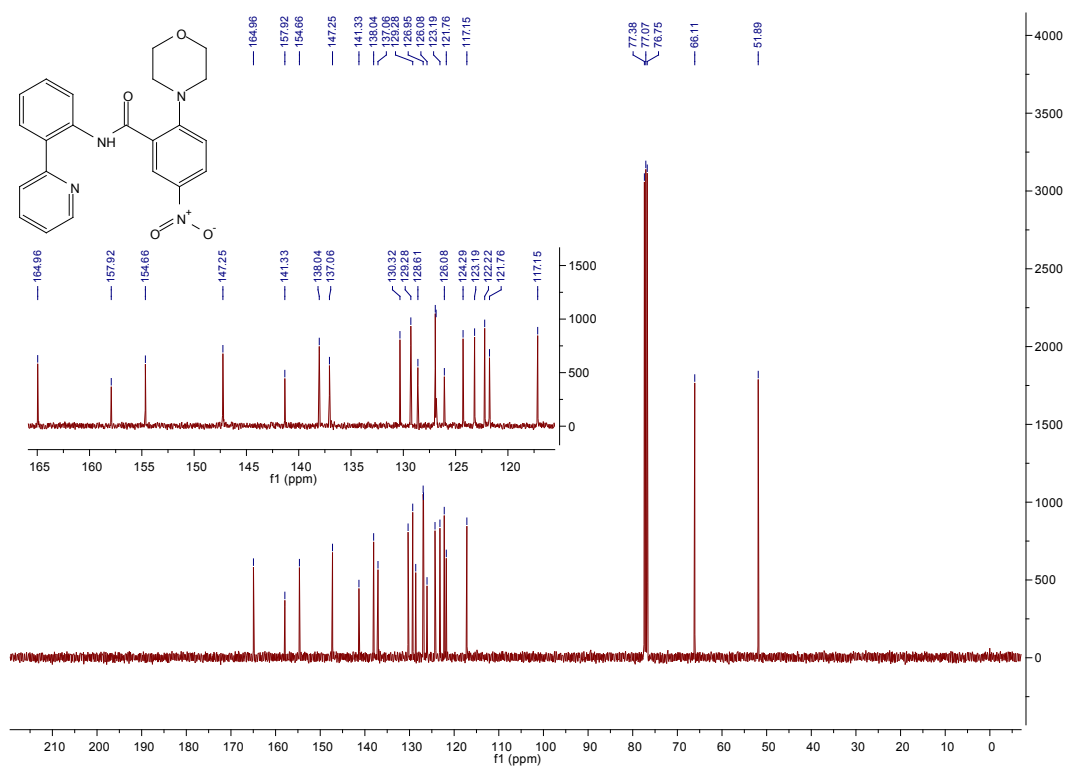


Fig. 40. ¹³C NMR of 2h

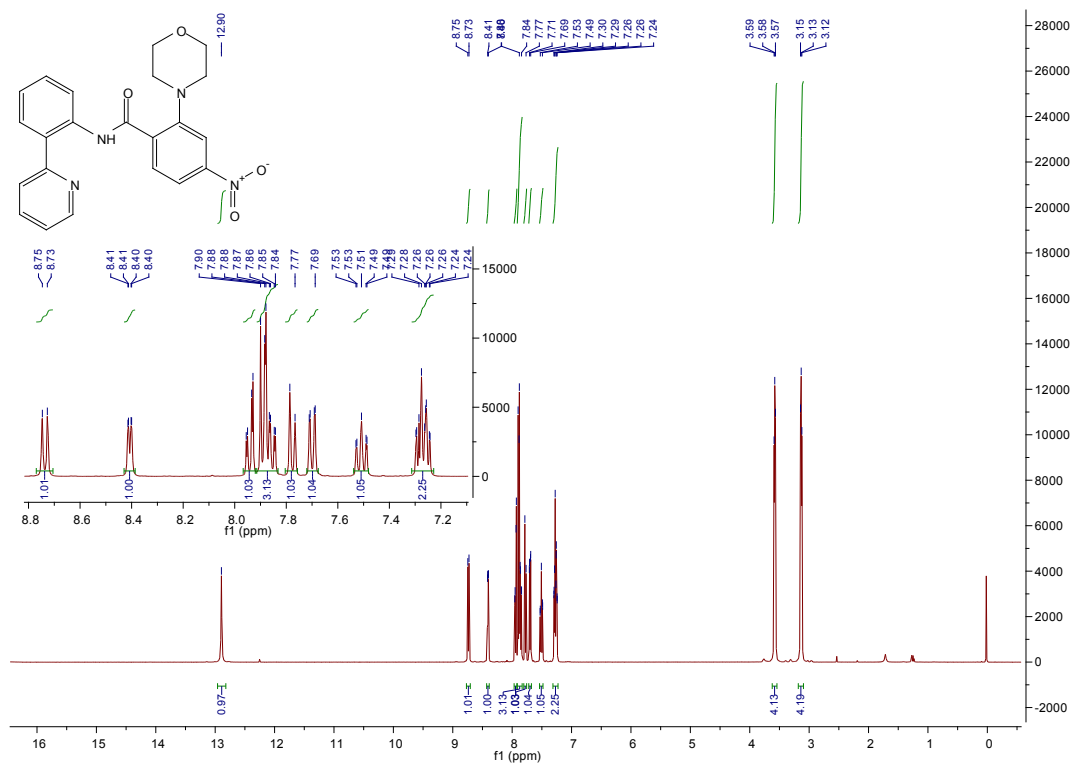


Fig. 41. ¹H NMR of 2i

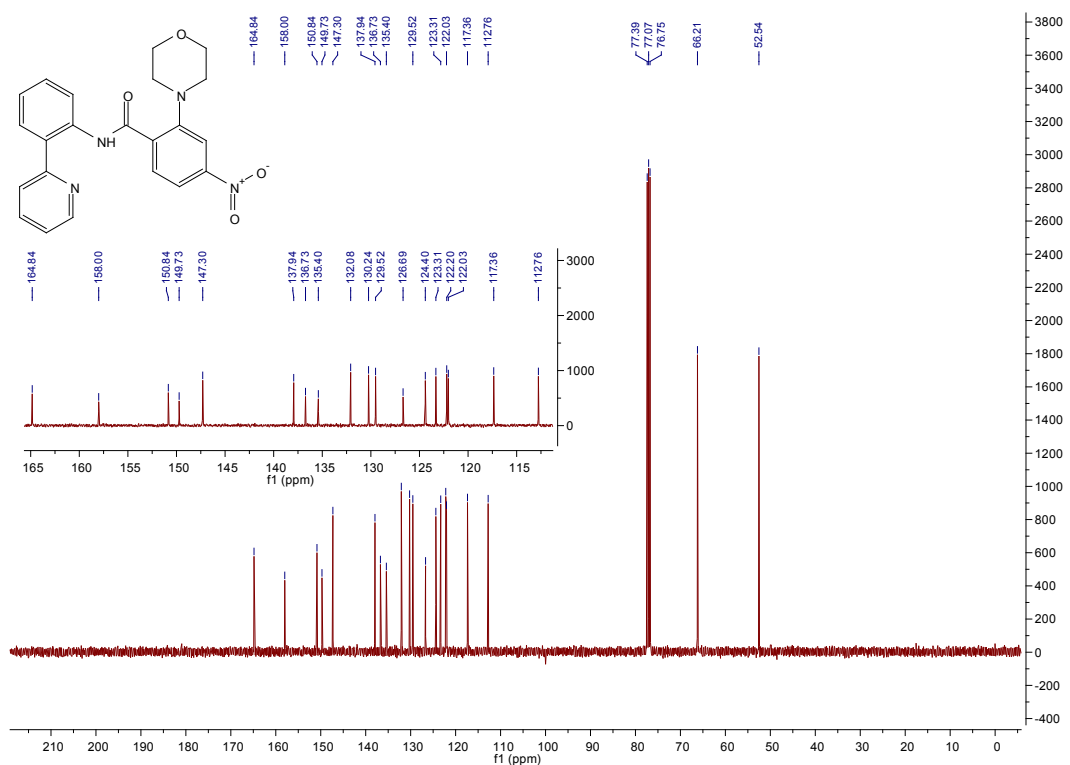


Fig. 42. ¹³C NMR of 2i

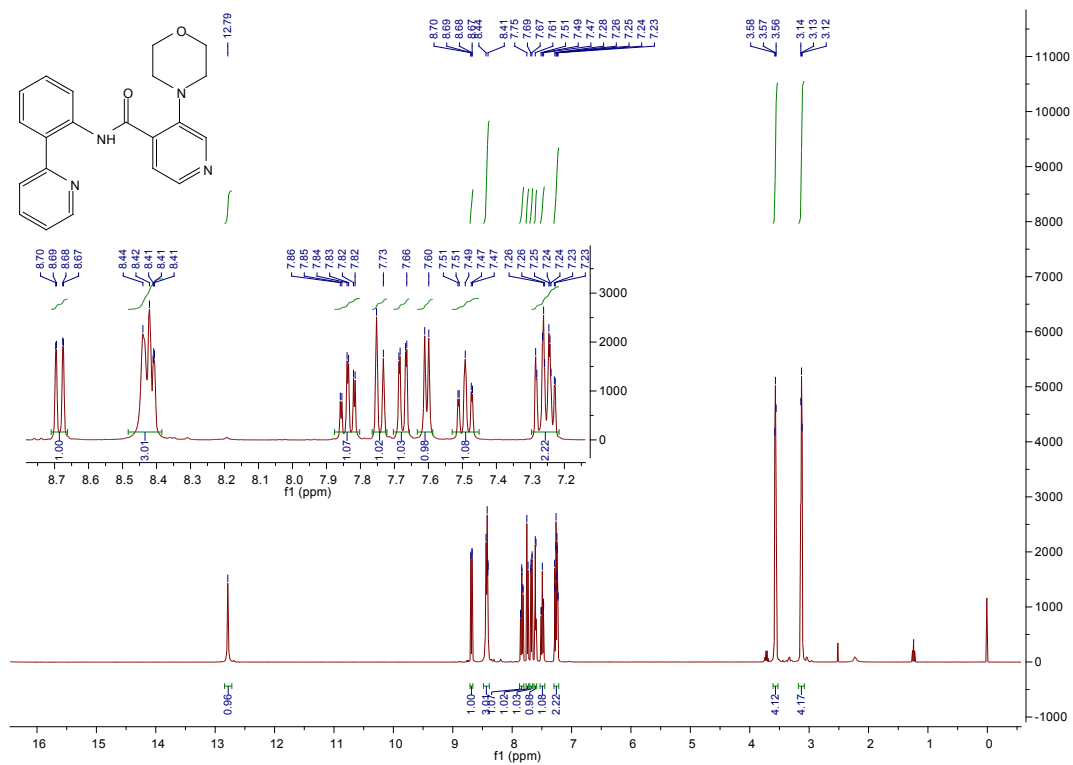


Fig. 43. ¹H NMR of 2j

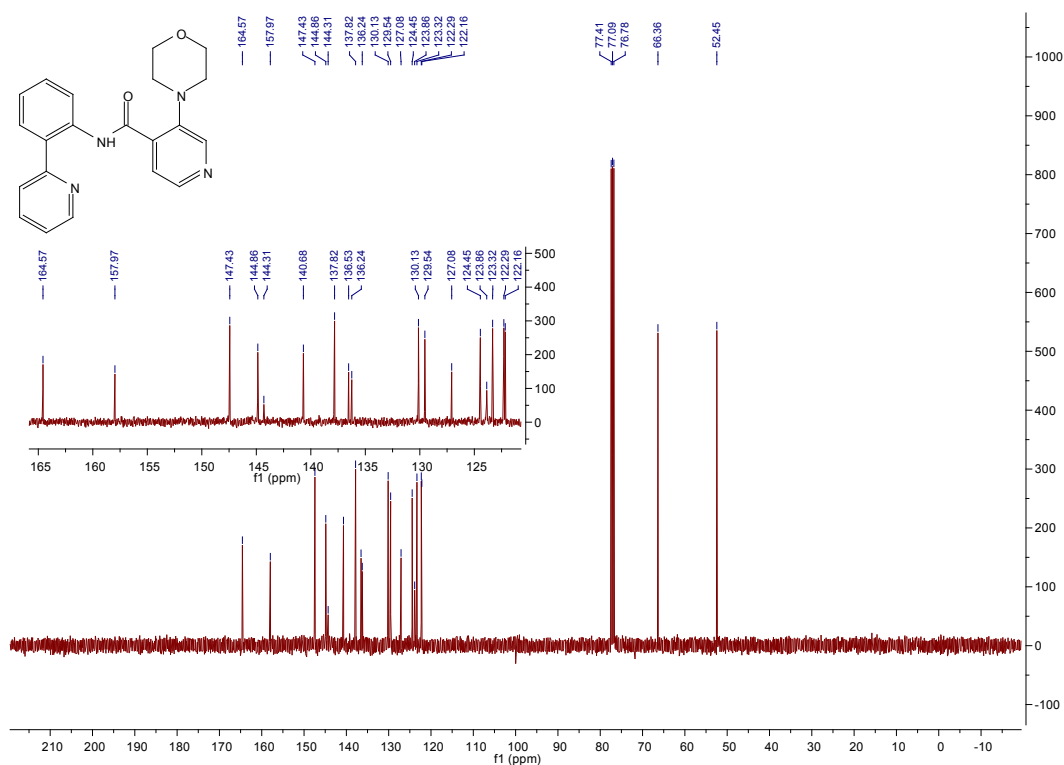


Fig. 44. ¹³C NMR of 2j

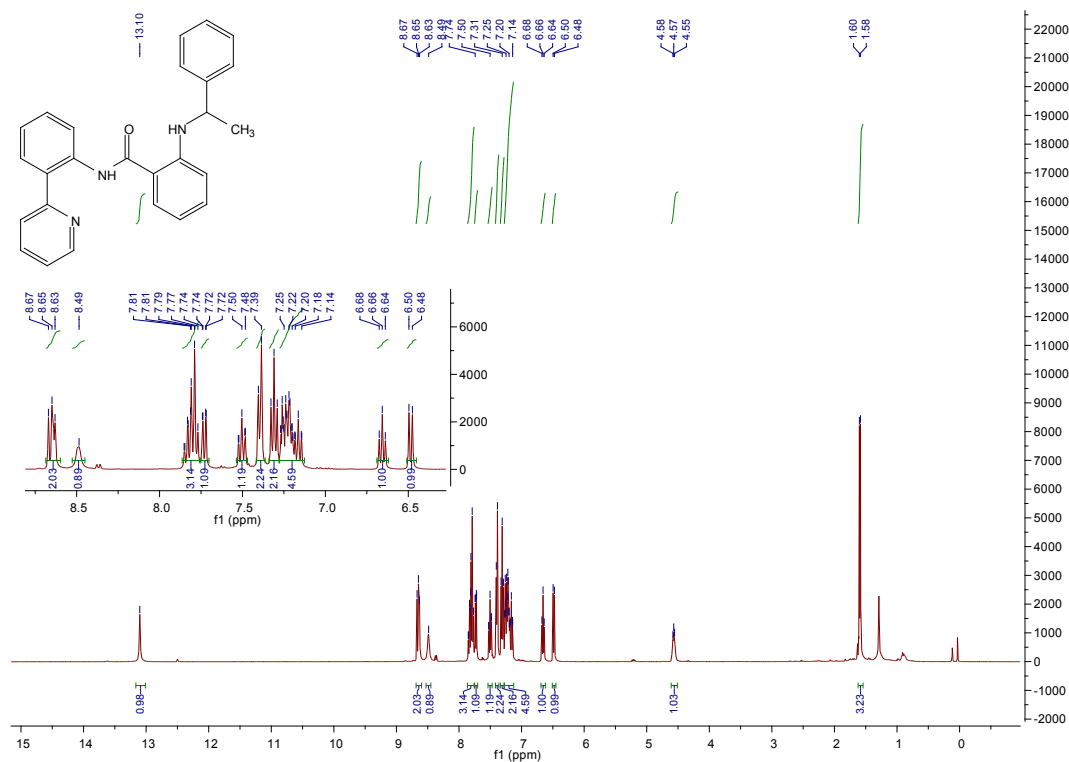


Fig. 45. ^1H NMR of **4a**

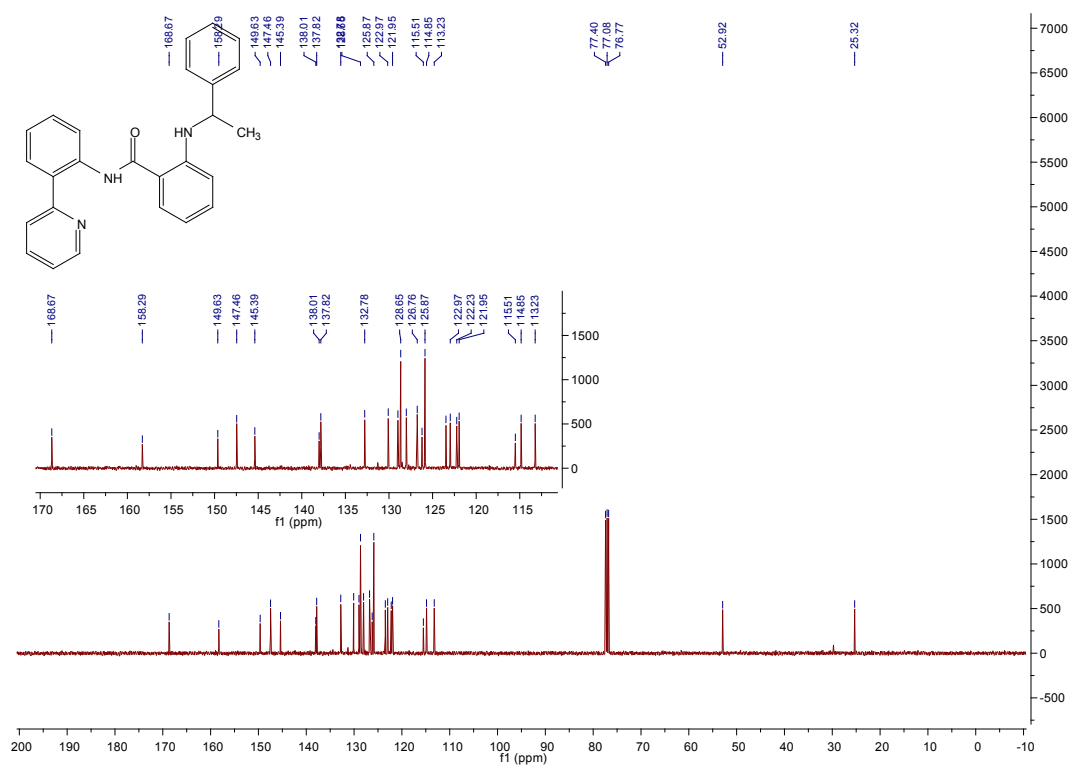


Fig. 46. ^{13}C NMR of **4a**

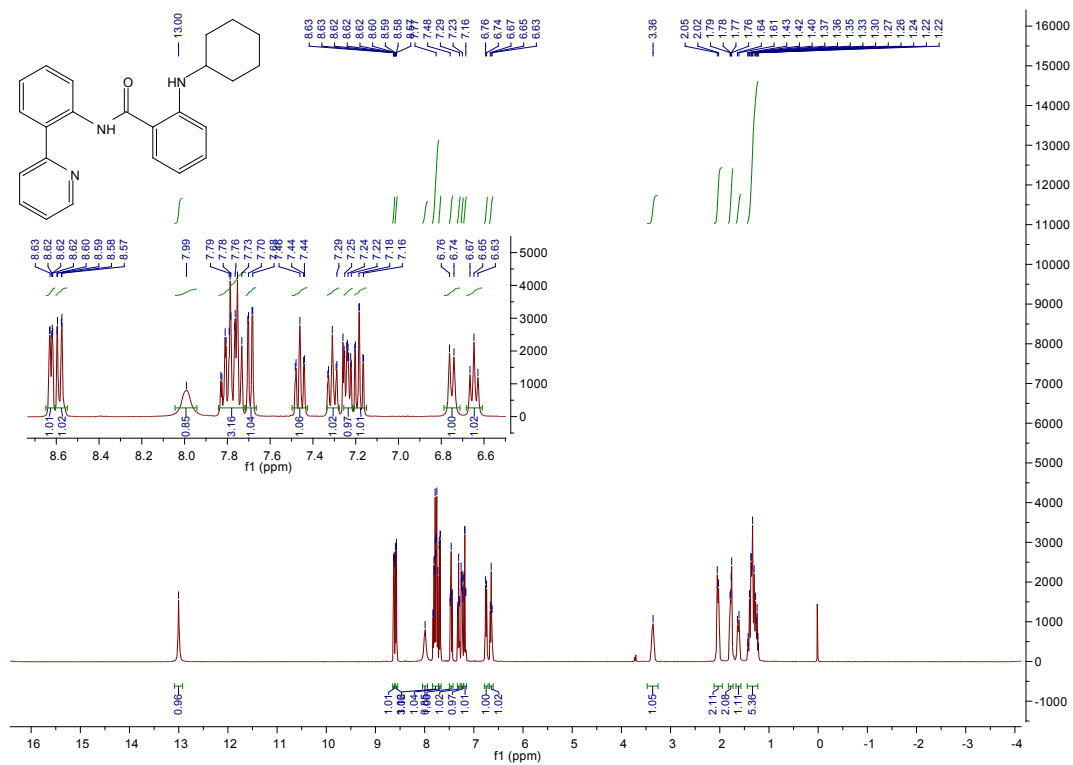


Fig. 47. ¹H NMR of 4b

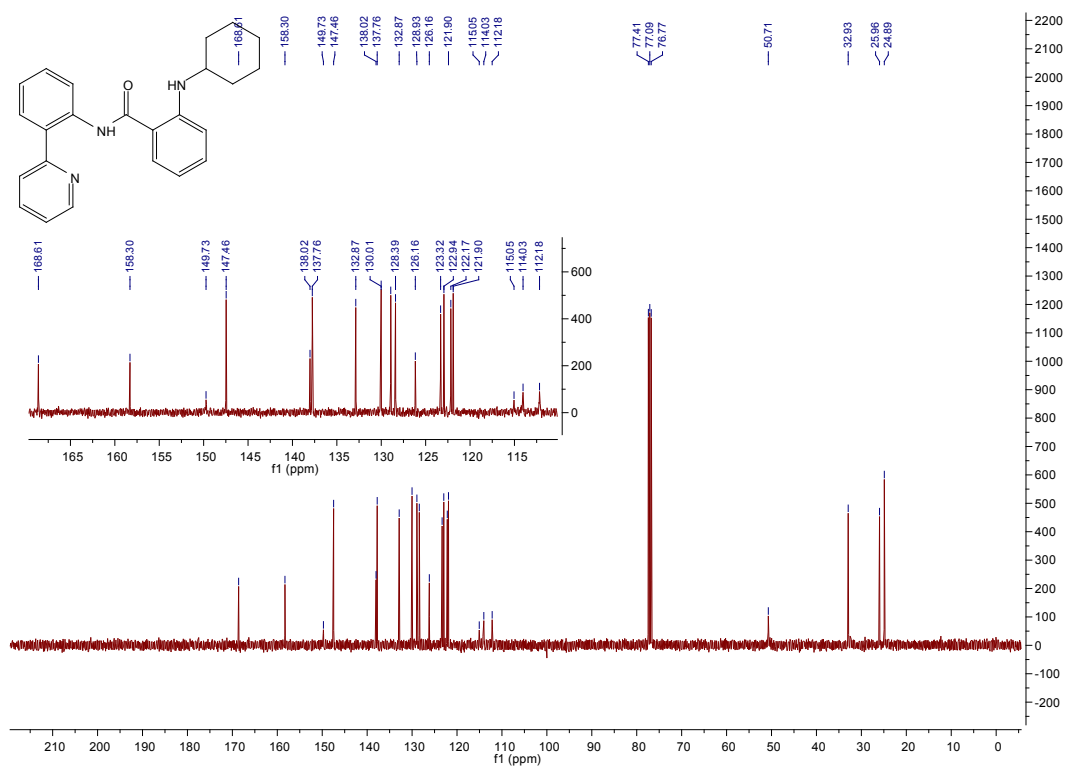


Fig. 48. ¹³C NMR of 4b

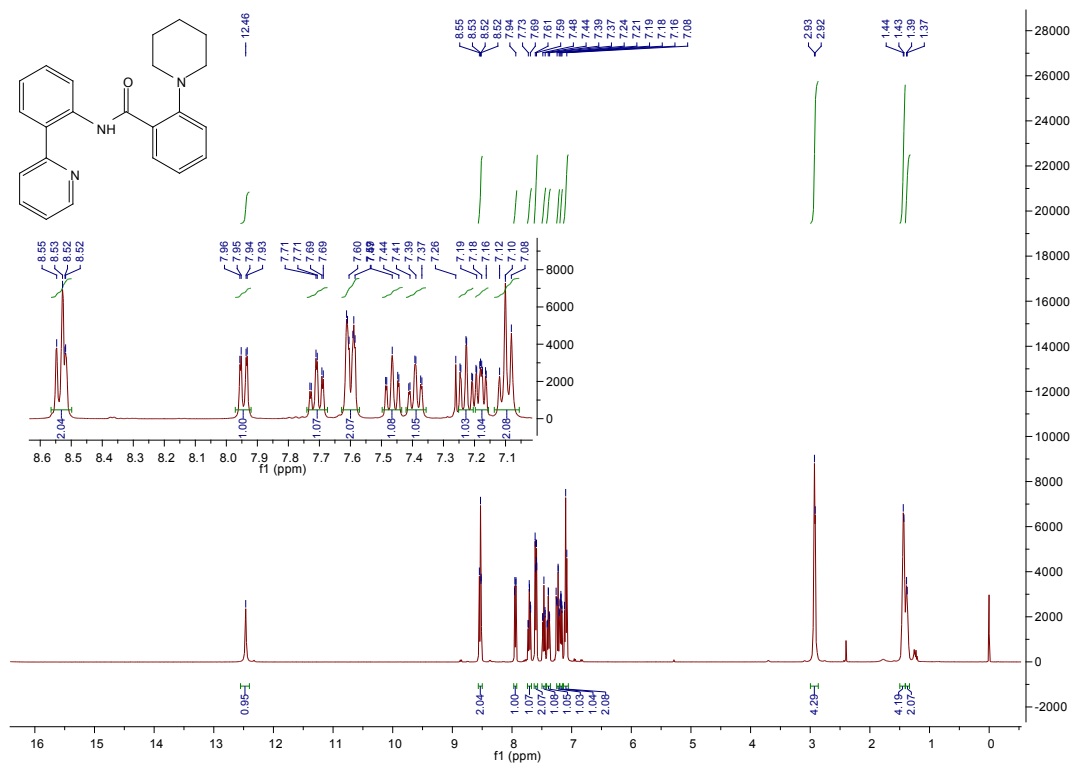


Fig. 49. ¹H NMR of 4c

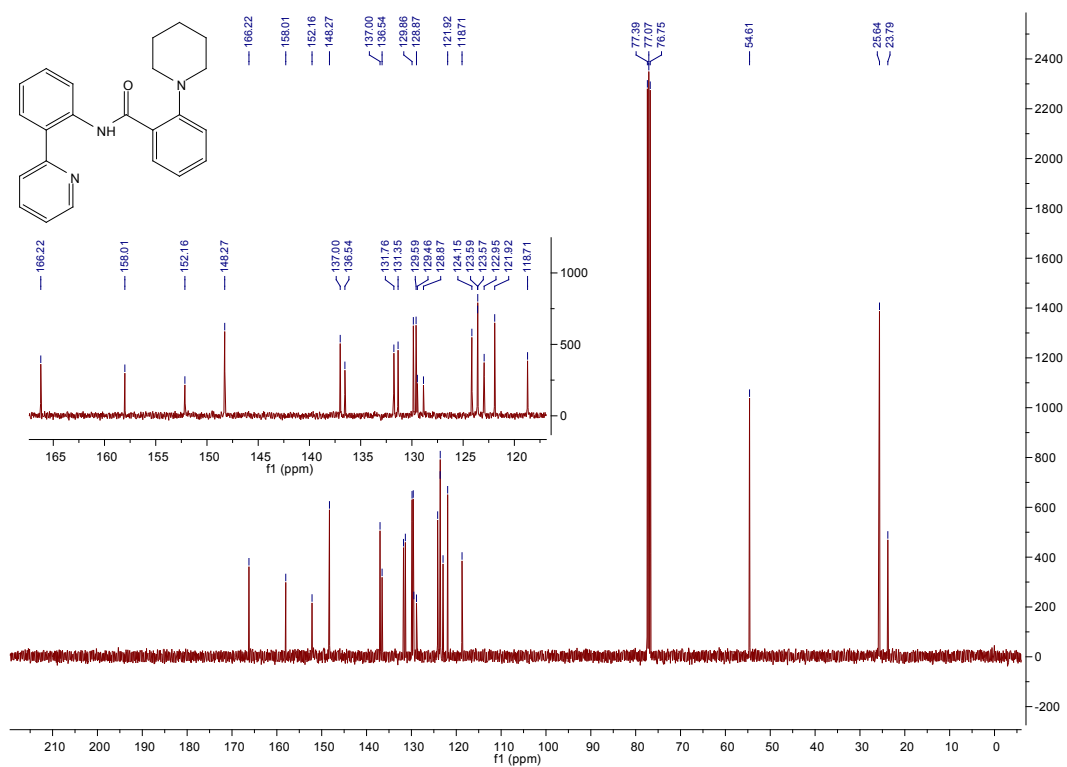


Fig. 50. ¹³C NMR of 4c

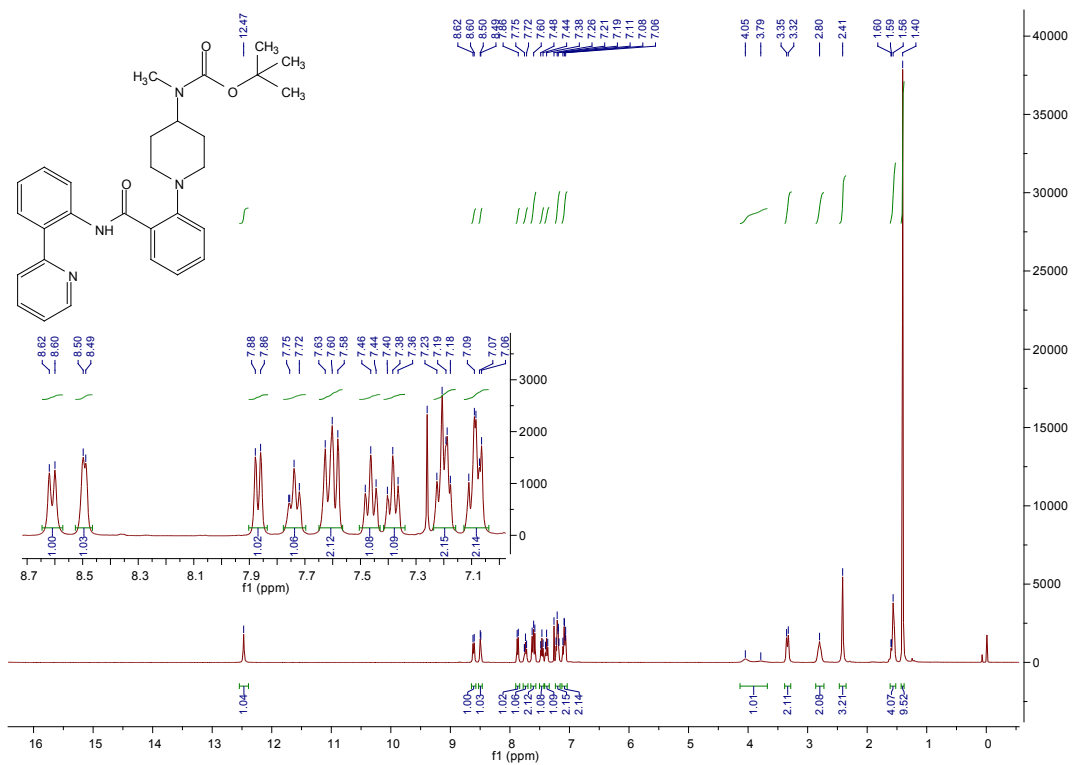


Fig. 51. ¹H NMR of 4d

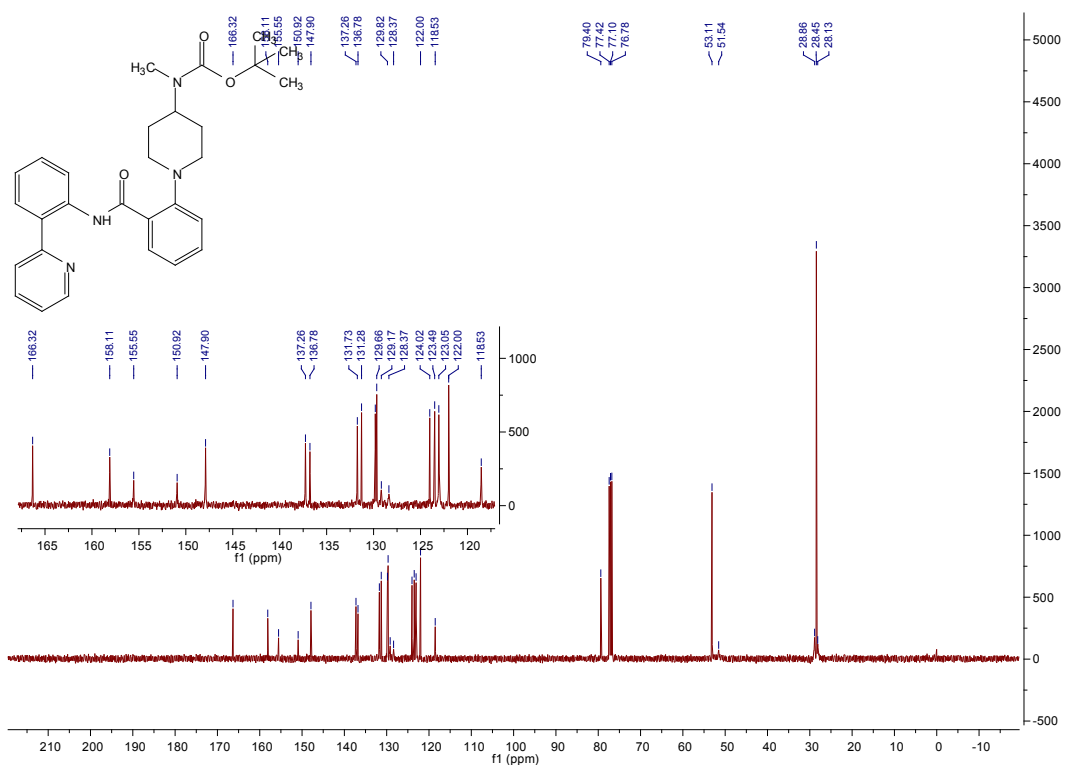


Fig. 52. ¹³C NMR of 4d

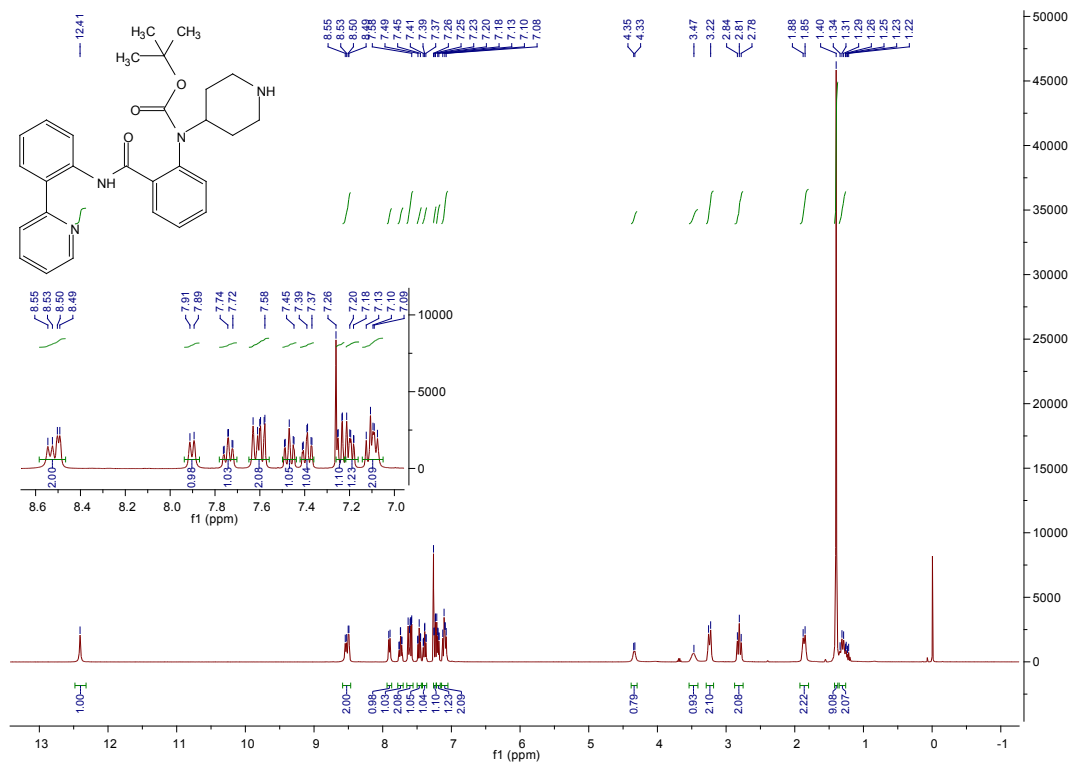


Fig. 53. ¹H NMR of 4e

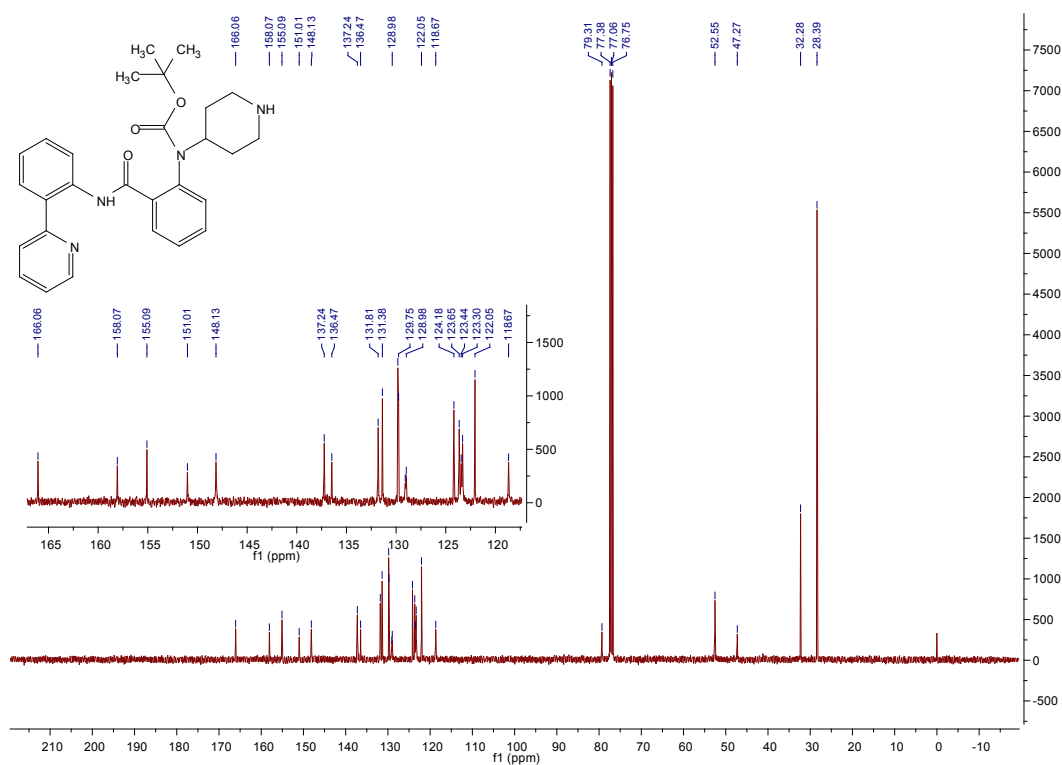


Fig. 54. ¹³C NMR of 4e

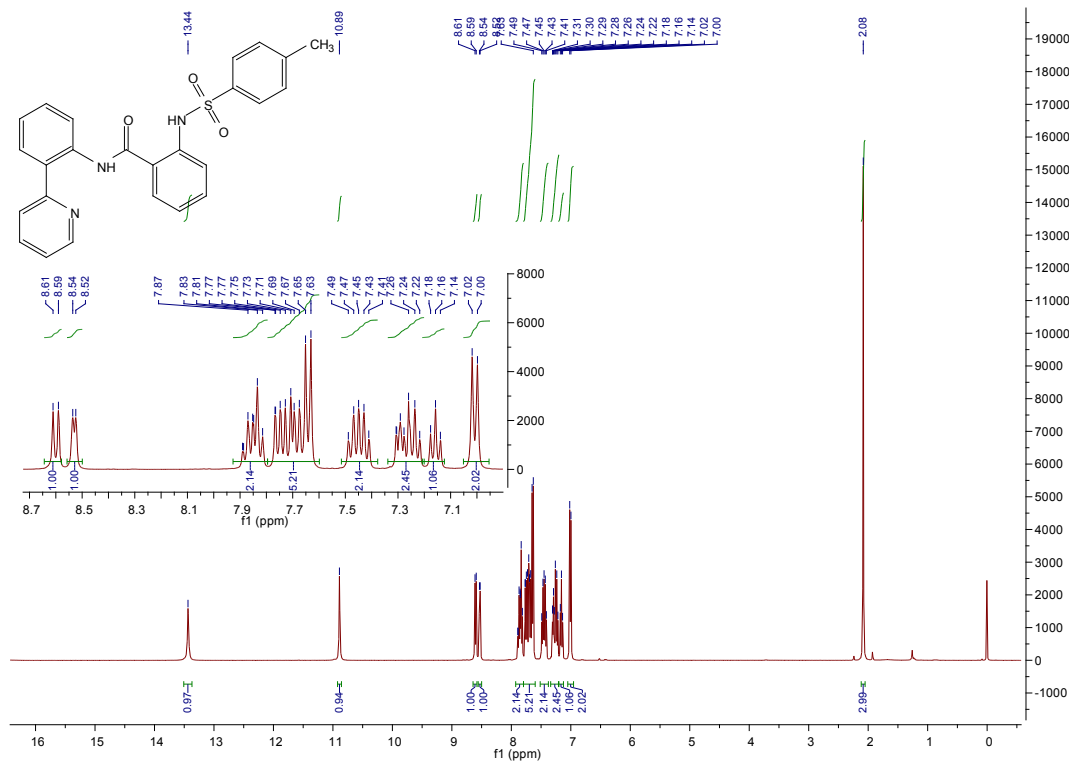


Fig.55. ¹H NMR of 4f

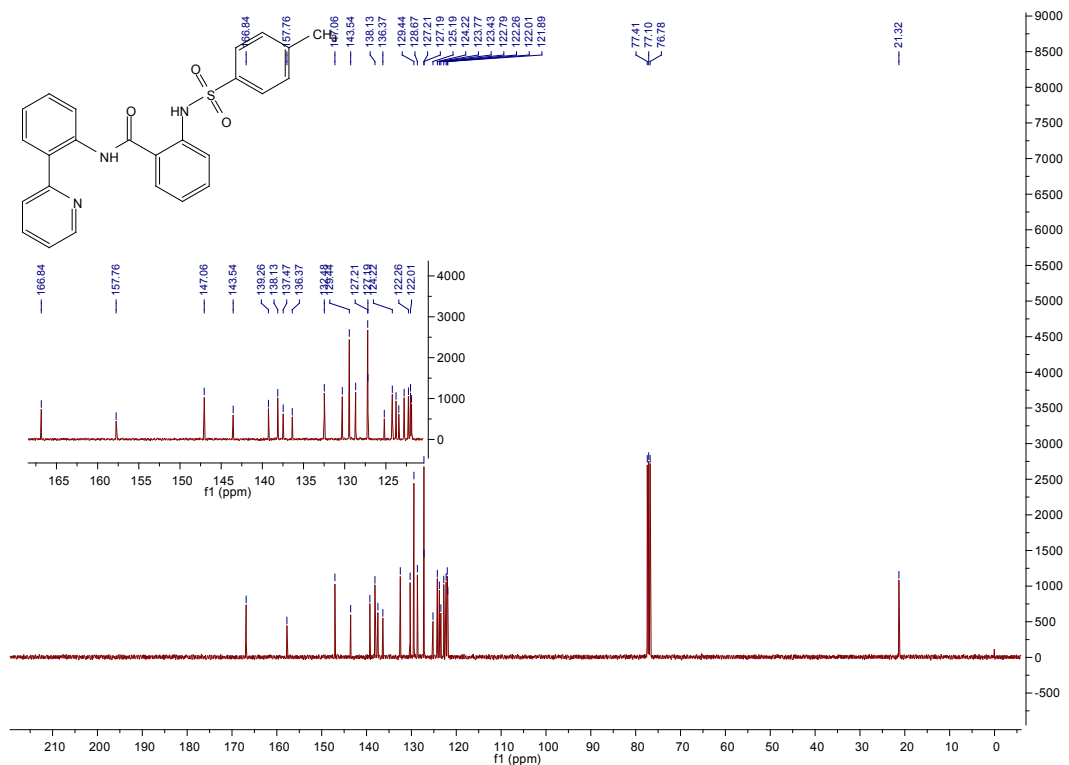


Fig. 56. ¹³C NMR of 4f

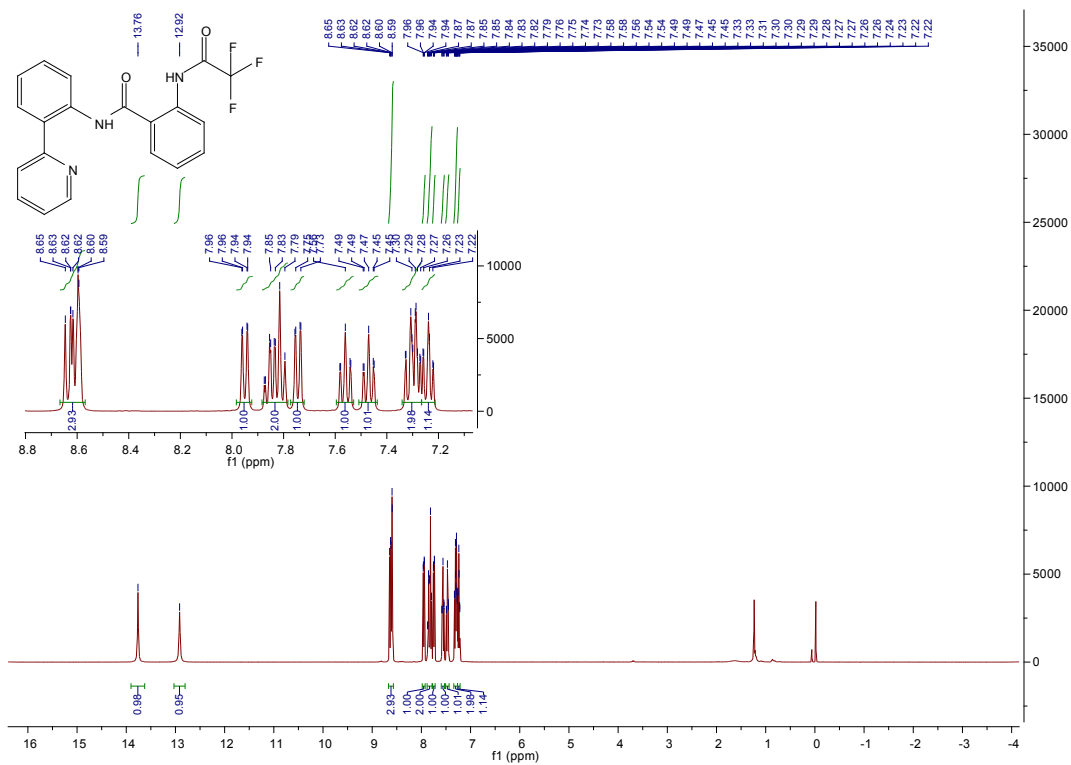


Fig. 57. ¹H NMR of 4g

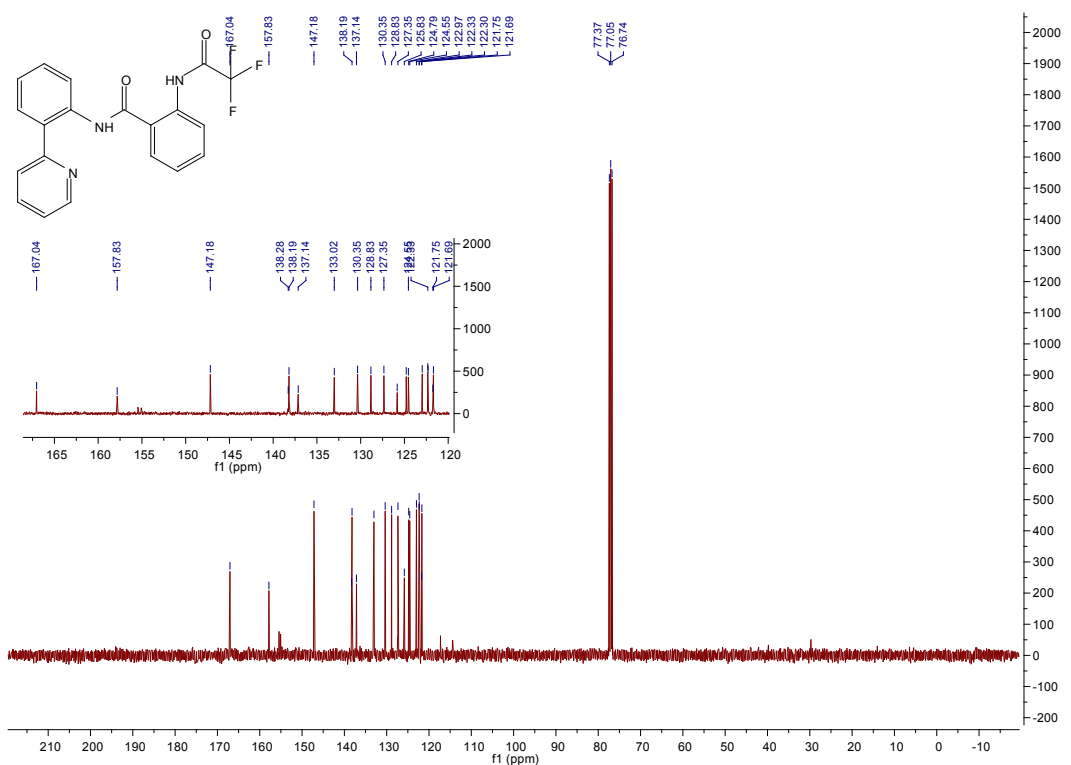


Fig. 58. ¹³C NMR of 4g

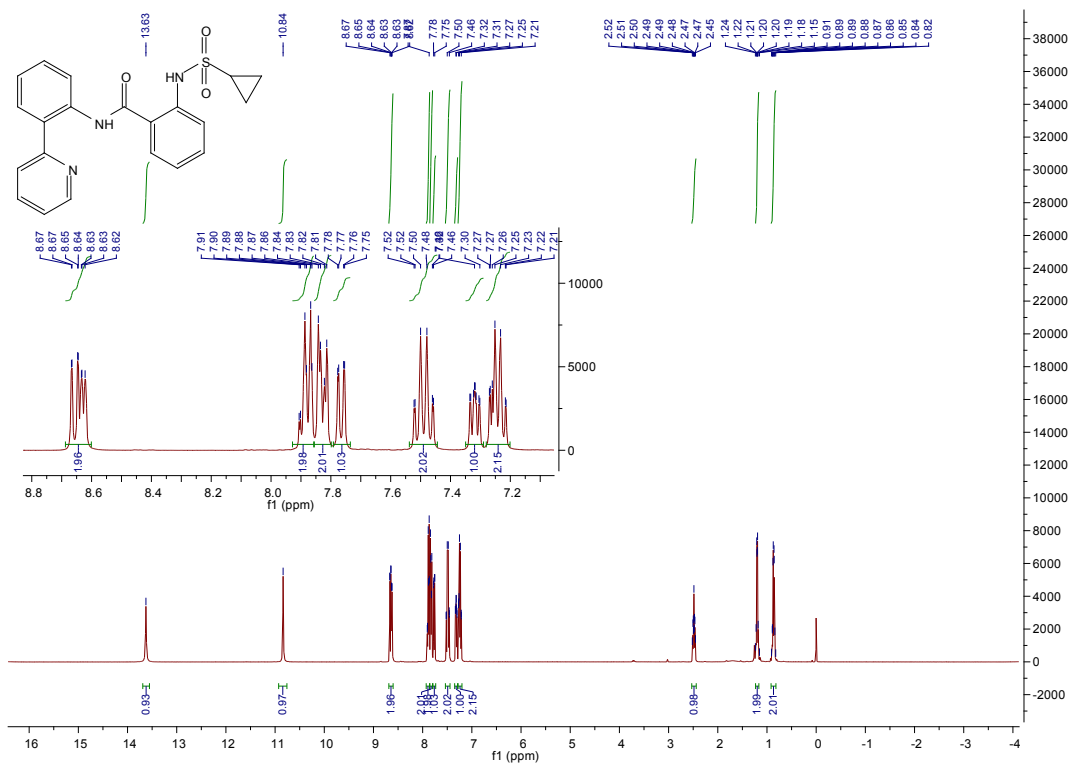


Fig. 59. ¹H NMR of 4h

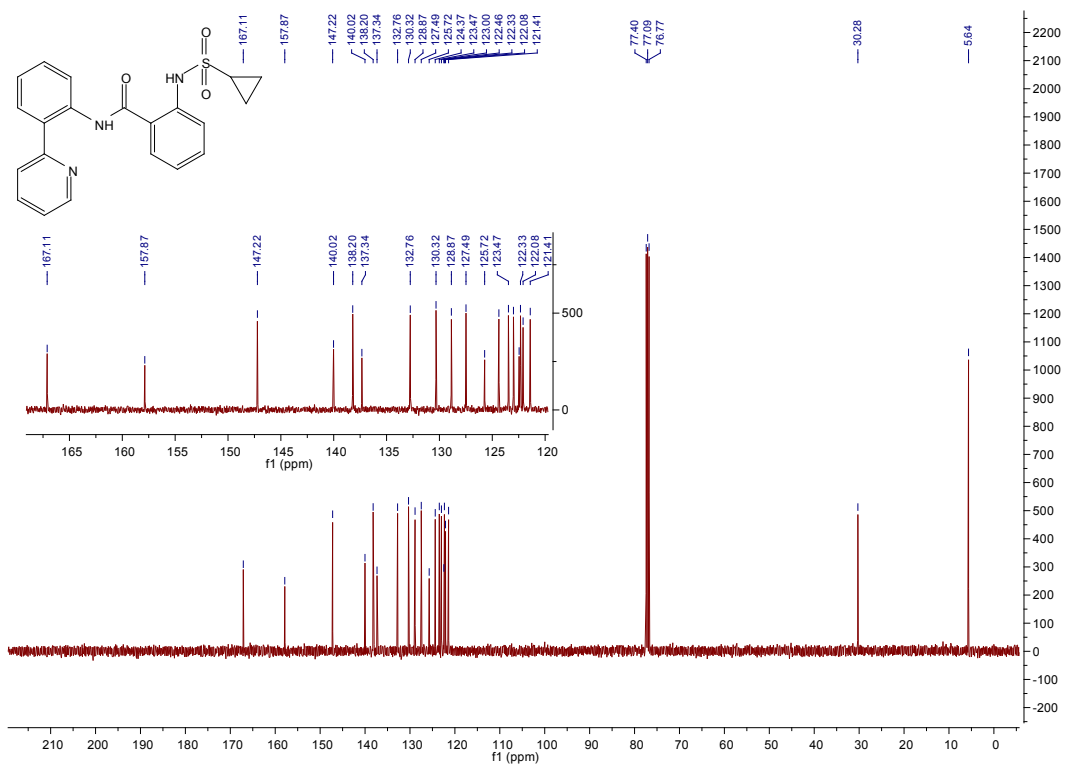


Fig. 60. ¹³C NMR of 4h

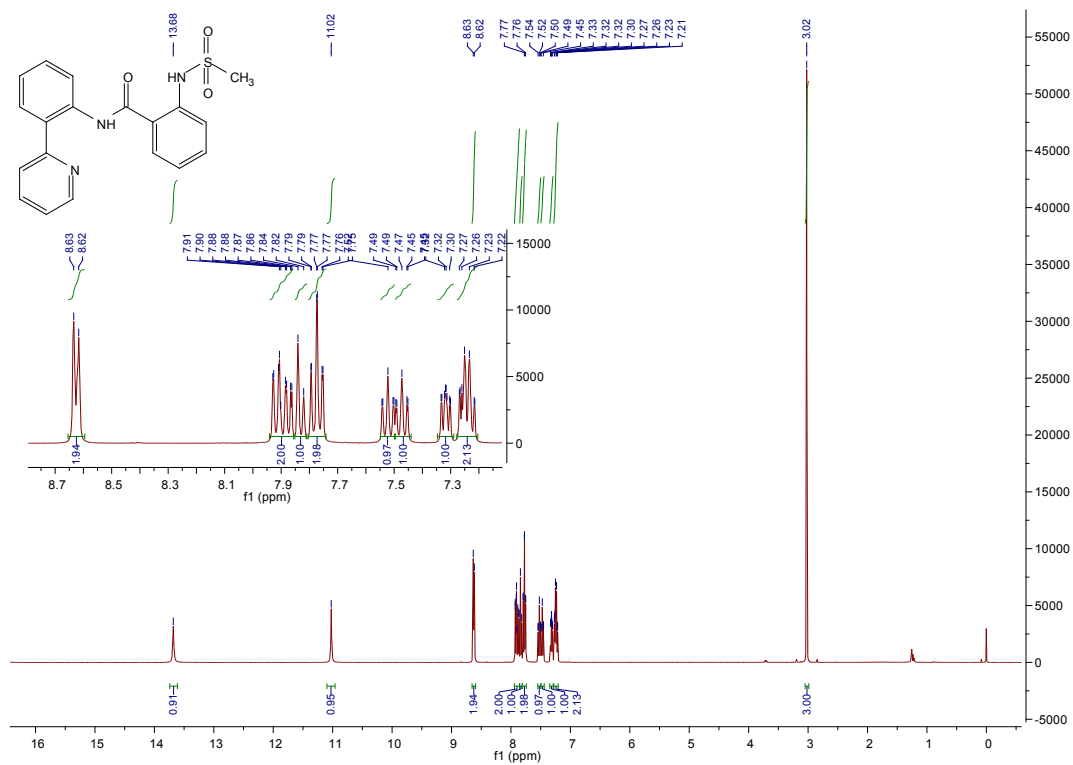


Fig. 61. ¹H NMR of 4i

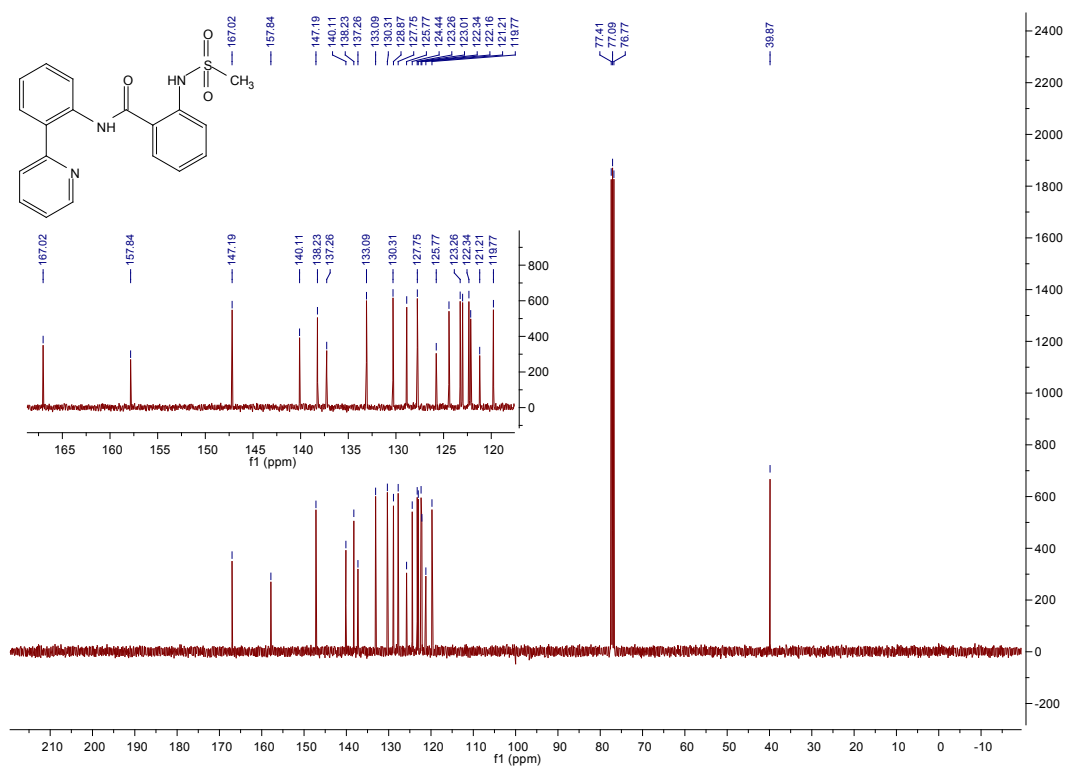


Fig. 62. ¹³C NMR of 4i

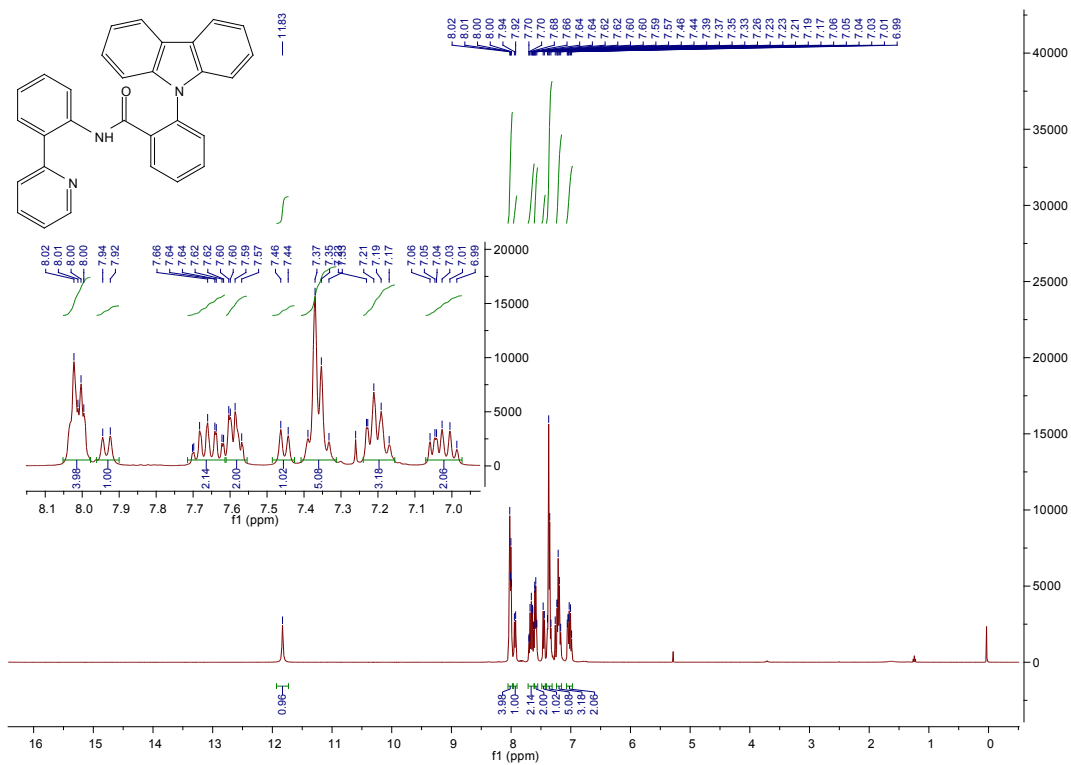


Fig. 63. ¹H NMR of 4j

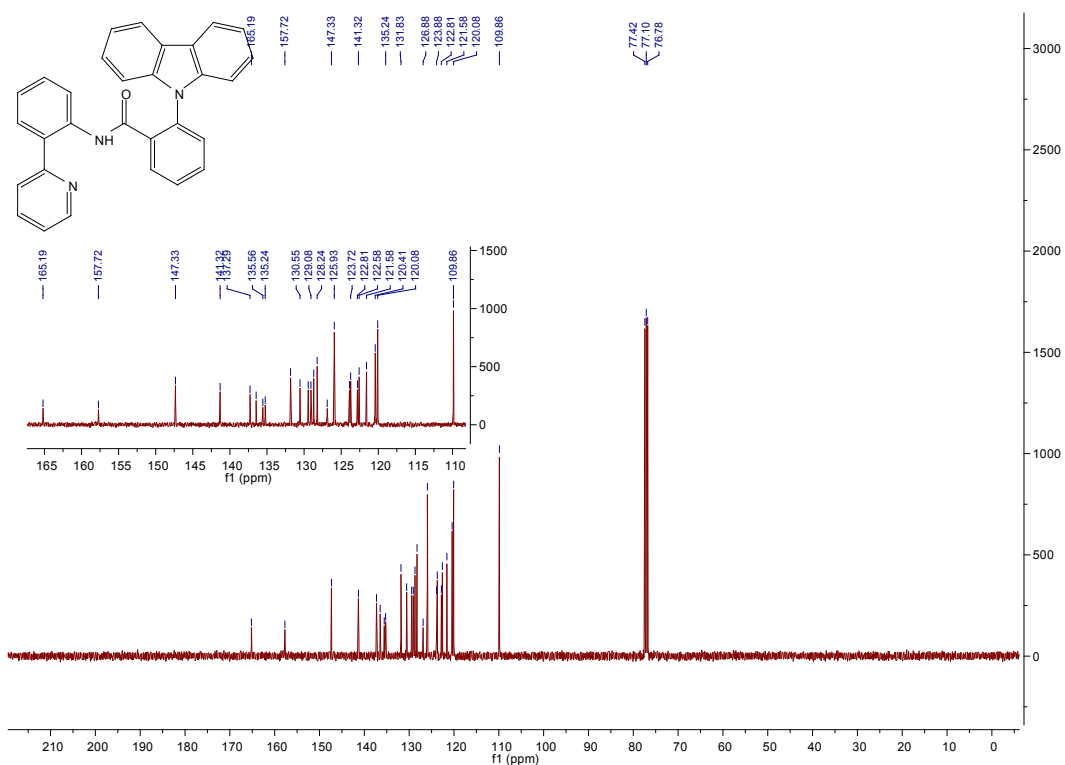


Fig. 64. ¹³C NMR of 4j

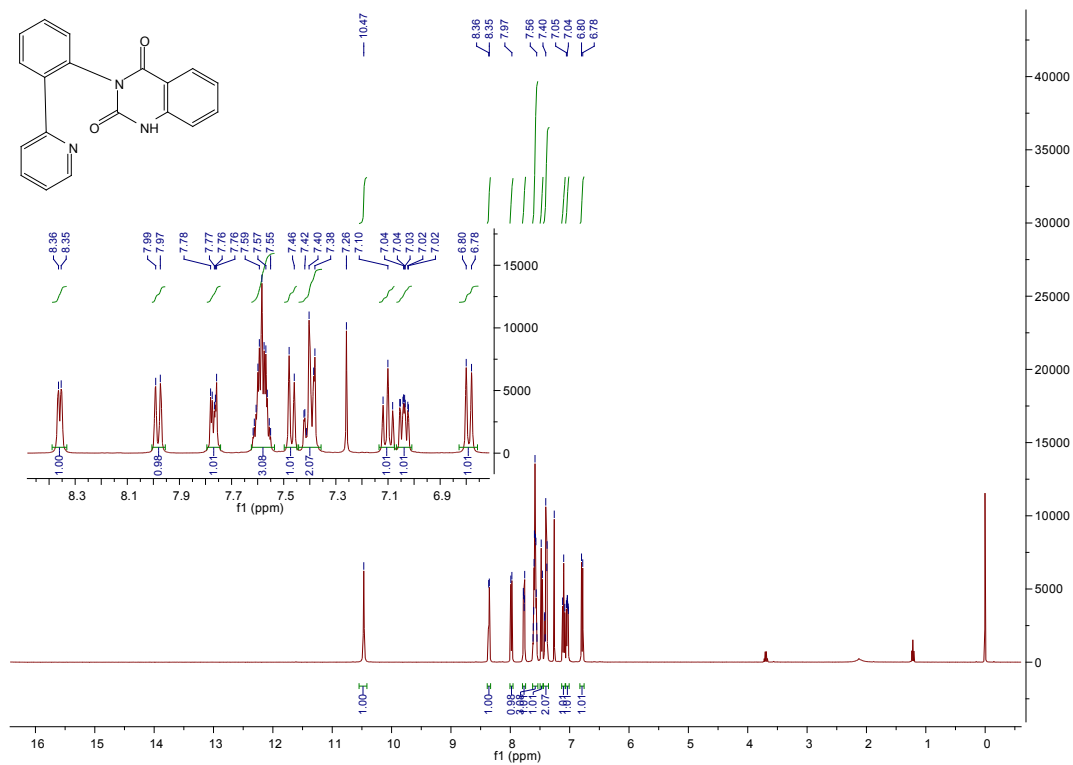


Fig. 65. ¹H NMR of 4k

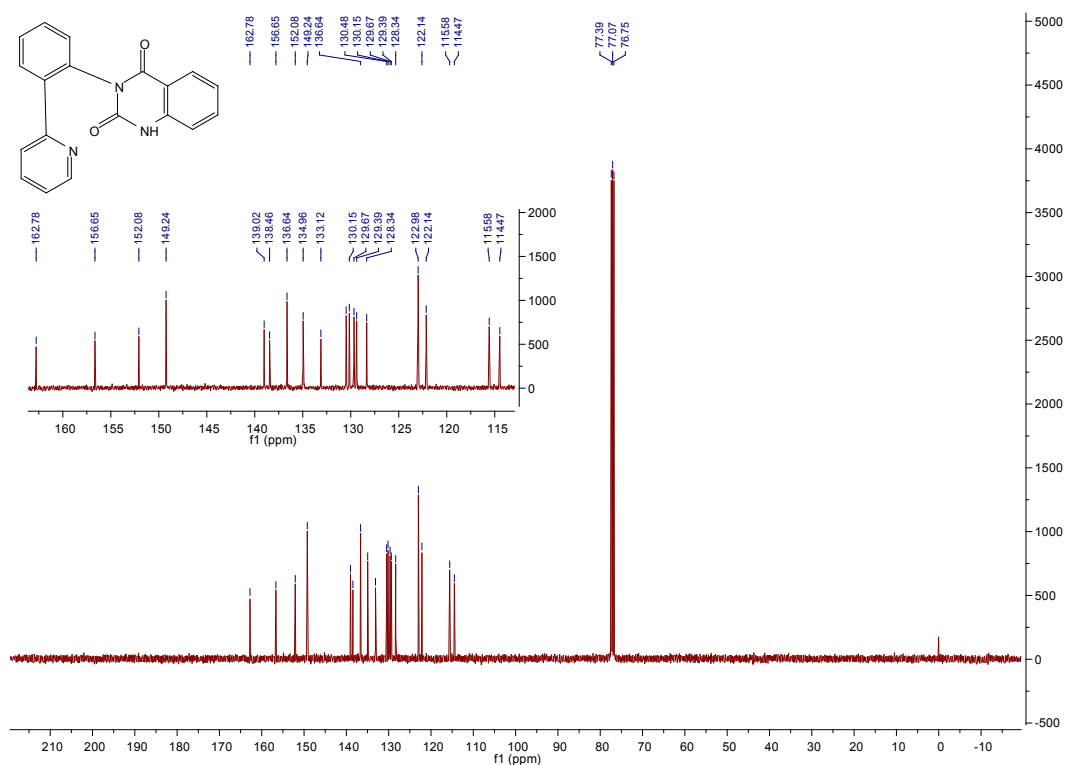


Fig. 66. ¹³C NMR of 4k

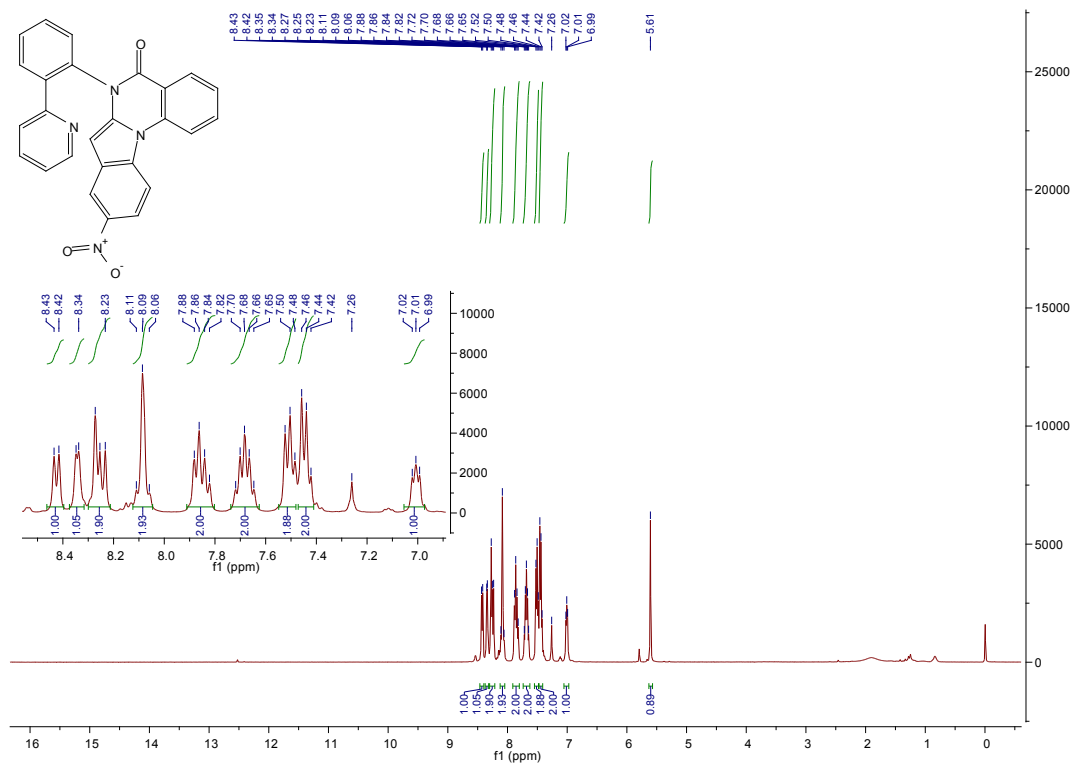


Fig. 67. ¹H NMR of 41

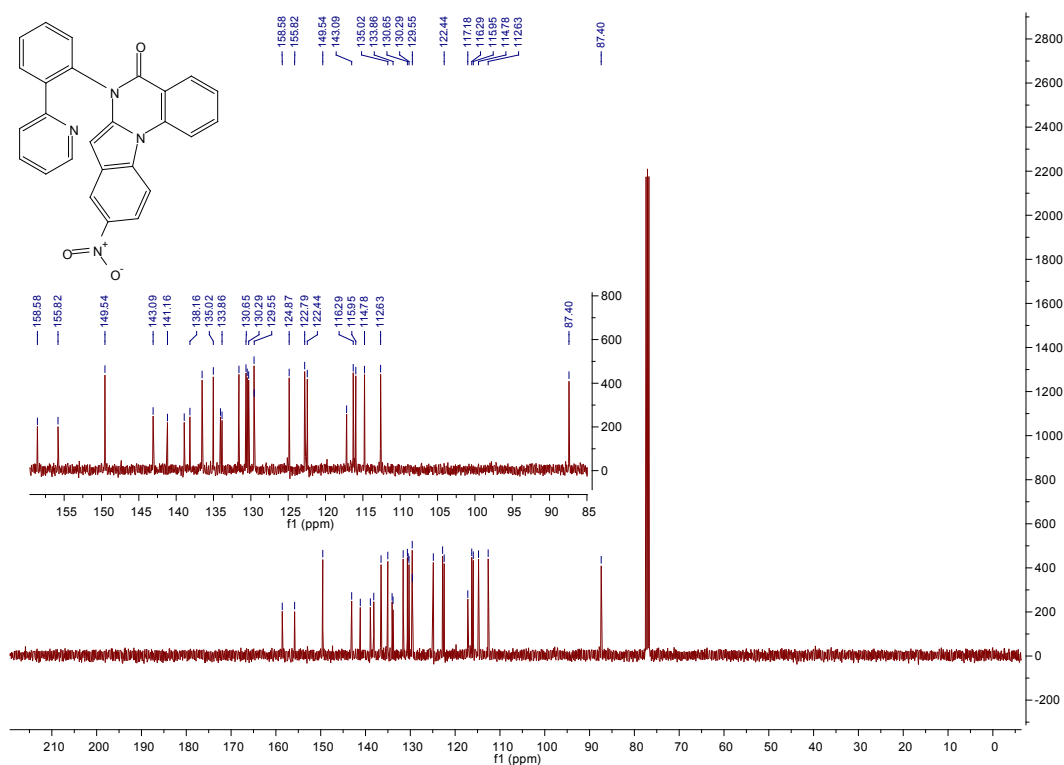


Fig. 68. ¹³C NMR of 41

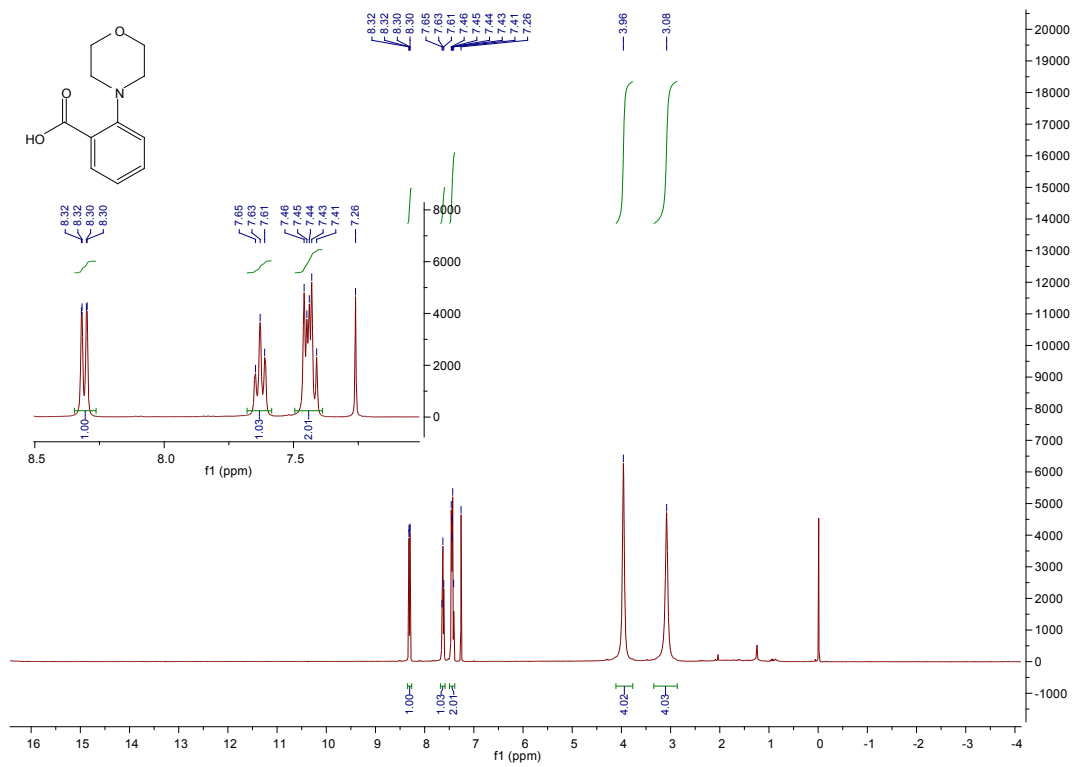


Fig. 69. $^1\text{H NMR}$ of 5

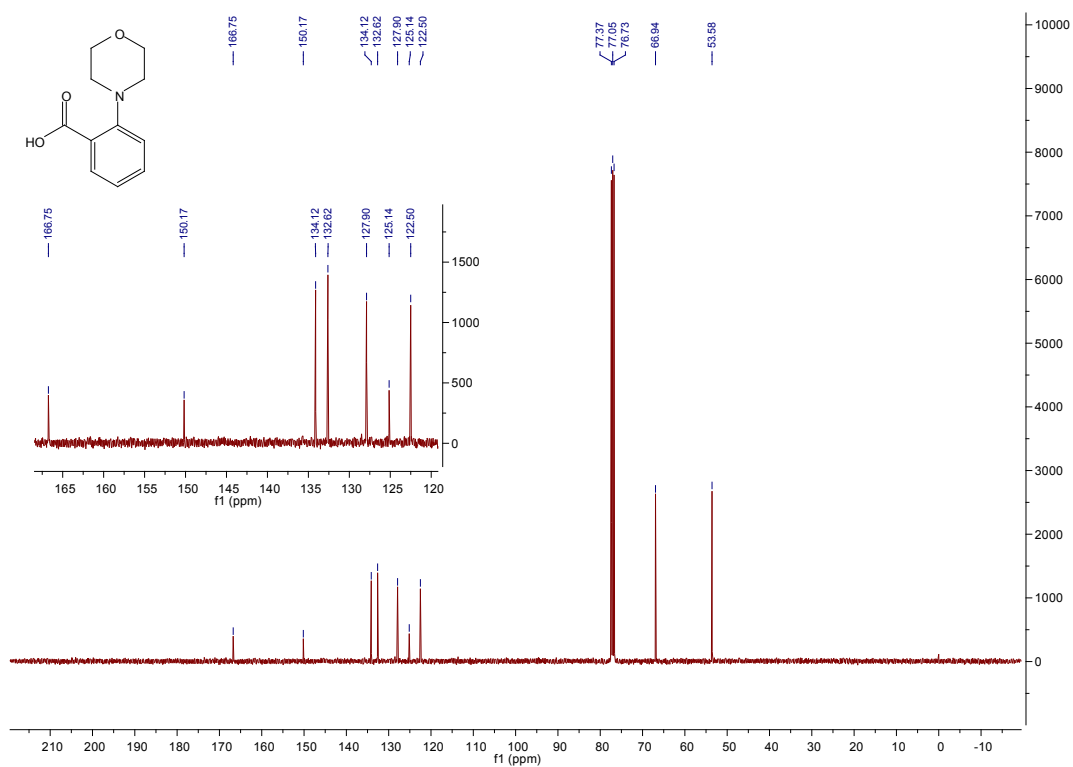


Fig. 70. $^{13}\text{C NMR}$ of 5